



# VYSOKÉ UČENÍ TECHNICKÉ V BRNĚ

BRNO UNIVERSITY OF TECHNOLOGY

## FAKULTA STROJNÍHO INŽENÝRSTVÍ

FACULTY OF MECHANICAL ENGINEERING

## ÚSTAV AUTOMOBILNÍHO A DOPRAVNÍHO INŽENÝRSTVÍ

INSTITUTE OF AUTOMOTIVE ENGINEERING

## SILIKONOVÝ TLUMIČ TORZNÍCH KMITŮ ŠESTIVÁLCOVÉHO VZNĚTOVÉHO MOTORU

SILICONE TORSIONAL VIBRATION DAMPER FOR A SIX-CYLINDER DIESEL ENGINE

### DIPLOMOVÁ PRÁCE

MASTER'S THESIS

### AUTOR PRÁCE

AUTHOR

Bc. Lukáš Kovář

### VEDOUCÍ PRÁCE

SUPERVISOR

prof. Ing. Václav Píštěk, DrSc.

BRNO 2017

# Zadání diplomové práce

Ústav:	Ústav automobilního a dopravního inženýrství
Student:	<b>Bc. Lukáš Kovář</b>
Studijní program:	Strojní inženýrství
Studijní obor:	Automobilní a dopravní inženýrství
Vedoucí práce:	<b>prof. Ing. Václav Píštěk, DrSc.</b>
Akademický rok:	2016/17

Ředitel ústavu Vám v souladu se zákonem č.111/1998 o vysokých školách a se Studijním a zkušebním řádem VUT v Brně určuje následující téma diplomové práce:

## **Silikonový tlumič torzních kmitů šestiválcového vznětového motoru**

### **Stručná charakteristika problematiky úkolu:**

Návrh silikonového tlumiče torzních kmitů šestiválcového vznětového motoru.

### **Cíle diplomové práce:**

- Pro zadané základní parametry klikového mechanismu a válcové jednotky
- navrhnout konfiguraci klikového hřídele šestiválcového vznětového motoru
  - vypracovat výkresovou dokumentaci klikového hřídele
  - sestavit dynamický model torzního systému klikového mechanismu a provést výpočet vynucených torzních kmitů
  - navrhnout parametry a konstrukční uspořádání silikonového tlumiče, provést výpočet vynuceného kmitání klikového mechanismu s tlumičem

### **Seznam doporučené literatury:**

STONE, Richard. Introduction to internal combustion engines. 3rd edition. Warrendale, Pa.: Society of Automotive Engineers, 1999. 641 s. ISBN 0768004950.

HEISLER, Heinz. Advanced engine technology. Oxford: Butterworth-Heinemann, 1995. 794 s. ISBN 1-56091-734-2.

KÖHLER, Eduard. Verbrennungsmotoren: Motormechanik, Berechnung und Auslegung des Hubkolbenmotors. 3. verb. Aufl. Braunschweig [u.a.]: Vieweg, 2002. 548 s. ISBN 3-528-23108-4.

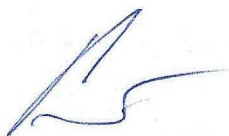
HAFNER, Karl Ernst a MAASS, Harald. Kräfte, Momente und deren Ausgleich in der Verbrennungskraftmaschinen. Wien, New York: Springer Verlag, 1995. 424 s. ISBN 978-3-7091-7-68-5.

SKOTSKY, Alexander A. Automotive engines: control, estimation, statistical detection. Berlin: Springer Verlag, 2009. 215 s. ISBN 978-3-642-00163-5.

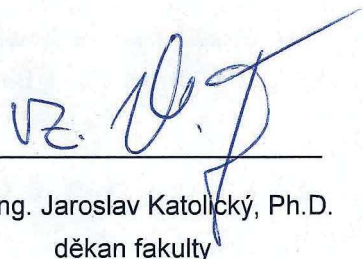
JAN, Zdeněk a ŽDÁNSKÝ, Bronislav. Automobily (3): Motory. Brno: Avid, spol. s r.o., 2009. 179 s. ISBN 978-80-87143-15-5

Termín odevzdání diplomové práce je stanoven časovým plánem akademického roku 2016/17

V Brně, dne



prof. Ing. Václav Píštěk, DrSc.  
ředitel ústavu



doc. Ing. Jaroslav Katolický, Ph.D.  
děkan fakulty

## ABSTRAKT

Cílem této práce je návrh klikové hřídele řadového šestiválcového vznětového motoru a návrh viskózního tlumiče torzních kmitů pro klikový mechanismus daných parametrů. Práce zahrnuje sestavení dynamického torzního modelu klikového mechanismu a výpočet vynuceného torzního kmitání pro mechanismus s tlumičem a bez tlumiče. Součástí je také pevnostní analýza navržené klikové hřídele s tlumičem metodou konečných prvků (MKP).

## KLÍČOVÁ SLOVA

Tlumič torzních kmitů, viskózní tlumič, silikonový tlumič, vynucené torzní kmitání, kliková hřídel, klikový mechanismus, dynamický model, šestiválcový vznětový motor

## ABSTRACT

The aim of this thesis is to design crankshaft for in-line six-cylinder diesel engine and to design viscous torsional vibration damper for the cranktrain of specified parameters. The thesis includes the creation of a dynamic torsional model of cranktrain and calculation of forced vibrations of mechanism with and without damper. Part of this thesis is also strength analysis of the designed crankshaft with damper using the Finite Element Method (FEM).

## KEYWORDS

Torsional vibration damper, viscous damper, silicone damper, forced torsional vibration, crankshaft, cranktrain, dynamic model, six-cylinder diesel engine

## BIBLIOGRAFICKÁ CITACE

KOVÁŘ, L. *Silikonový tlumič torzních kmitů šestiválcového vznětového motoru*. Brno, 2017. Diplomová práce. Vysoké učení technické v Brně, Fakulta strojního inženýrství, Ústav automobilního a dopravního inženýrství. 57 s. Vedoucí diplomové práce prof. Ing. Václav Píštěk, DrSc.

## ČESTNÉ PROHLÁŠENÍ

Prohlašuji, že tato práce je mým původním dílem, zpracoval jsem ji samostatně pod vedením prof. Ing. Václava Pištěka, DrSc. a s použitím literatury uvedené v seznamu.

V Brně dne 23. května 2017

.....

Lukáš Kovář

## **PODĚKOVÁNÍ**

Rád bych tímto poděkoval vedoucímu práce prof. Ing. Václavu Píštěkovi, DrSc. za jeho ochotný přístup a cenné rady, které mi pomohly při vypracování této práce.

## OBSAH

Úvod .....	10
1 Tlumiče torzních kmitů .....	11
1.1 Rezonanční torzní tlumiče .....	11
1.2 Třecí torzní tlumiče .....	11
1.3 Dynamické torzní tlumiče .....	12
2 Zadané parametry motoru .....	13
3 Návrh konstrukčního provedení klikové hřídele .....	14
3.1 Návrh uspořádání jednotlivých zalomení a vyvážení .....	14
3.2 Vytvoření 3D modelu klikové hřídele .....	15
4 Silové působení na klikový mechanismus .....	19
4.1 Kinematika klikového mechanismu .....	19
4.2 Síly působící na pístní čep .....	20
4.3 Síly působící na ojnicí čep .....	21
5 Dynamický model torzního systému klikového mechanismu .....	23
5.1 Redukce hmot a stanovení momentů setrvačnosti .....	24
5.2 Redukce délek .....	25
5.3 Stanovení torzních tuhostí .....	26
6 Vlastní frekvence a vlastní tvary kmitání .....	27
7 Vynucené torzní kmitání .....	30
7.1 Harmonická analýza krouticího momentu .....	30
7.2 Kritické otáčky .....	31
7.3 Vydutost rezonancí .....	33
7.4 Torzní výchylky v rezonanci .....	33
7.5 Torzní momenty vypočítané z dynamického modelu .....	35
8 Dynamický model torzního systému klikového mechanismu s tlumičem .....	36
9 Návrh silikonového tlumiče torzních kmitů .....	37
9.1 Návrh parametrů silikonového tlumiče torzních kmitů .....	37
9.2 Návrh konstrukčního uspořádání .....	38
9.3 Torzní výchylky v rezonanci pro soustavu s tlumičem .....	40
10 Pevnostní analýza klikové hřídele .....	41
10.1 Příprava modelu a síťování .....	41
10.2 Tvorba prutových náhrad a simulace olejové vrstvy .....	42
10.3 Okrajové podmínky .....	43
10.4 Zatížení hřídele a výsledná napětí .....	44
10.5 Bezpečnost vůči únavovému poškození .....	48



---

Závěr.....	51
Seznam použitých zkratek a symbolů .....	53
Seznam příloh.....	57

## ÚVOD

Na klikové hřídele pístových spalovacích motorů působí při jejich činnosti síly od tlaku plynů a setrvačné síly. Při návrhu a pevnostních výpočtech je nutno uvážit, že hřídel není dokonale tuhá ale naopak pružná a síly, které ji zatěžují, jsou periodicky proměnné. To vede ke kmitání klikových hřídelí, u kterého rozeznáváme tři druhy [1]:

- Ohybové kmitání
- Podélné kmitání
- Torzní kmitání

Ohybové kmitání je způsobeno periodicky proměnnými silami, které působí kolmo na osu hřídele. Klíčová je zde frekvence vlastního ohybového kmitání, která souvisí s délkou hřídele mezi dvěma sousedními hlavními ložisky. Čím menší je tato délka, tím vyšší je frekvence vlastního ohybového kmitání. Snahou přitom je, aby tato frekvence ležela mimo provozní otáčky motoru. Pokud by se v provozním spektru otáček motoru vyskytovala frekvence shodná s frekvencí vlastního ohybového kmitání, došlo by k rezonanci a následnému zesílení amplitudy kmitání. To by mohlo vést až k destrukci motoru. Toto kmitání lze však dostatečně eliminovat vhodným návrhem uložení hřídele [1].

Podélné kmitání natahuje a zkracuje hřídel v její ose a není považováno za nebezpečné [1].

Torzní kmitání je způsobeno proměnností krouticího momentu v čase a je považováno za nejnebezpečnější. Způsobuje kroucení hřídele kolem osy otáčení. Frekvence vlastního kmitání obvykle leží v oblasti provozních otáček a dochází tak k rezonanci a značným úhlovým výchylkám především volného konce hřídele. To vede ke značnému namáhání hřídele. Nejvíce se to projeví u motorů s velkou délkou klikové hřídele. Pokud torzní kmitání přesáhne určitou mez, a není ho možné zmírnit vhodnou úpravou konstrukce mechanismu, používají se k jeho eliminaci tzv. tlumiče torzních kmitů [1].

# 1 TLUMIČE TORZNÍCH KMITŮ

U motorů pracujících ve velmi malém rozsahu otáček (stacionární motory, elektrocentrály) je možné celý mechanismus navrhnout tak, aby kritické otáčky ležely mimo pracovní otáčky motoru. U motorů pracujících ve větším rozsahu otáček je téměř jisté, že budou některé kritické otáčky ležet v pracovním rozsahu otáček a bude docházet k rezonancím a torznímu kmitání, které může vést až k únavovému poškození klikové hřídele. K potlačení torzního kmitání lze využít torzních tlumičů, které se montují obvykle na volný konec klikové hřídele, kde jsou torzní výchylky největší [1],[2]. Tyto tlumiče lze dle literatury [1] rozdělit do následujících třech základních skupin:

- Rezonanční
- Třecí
- Dynamické

## 1.1 REZONANČNÍ TORZNÍ TLUMIČE

Tento tlumič je velmi používaný u dnešních osobních automobilů, zejména kvůli své jednoduchosti a tedy i nízkým výrobním nákladům. Skládá se obvykle z náboje tlumiče, na který je prostřednictvím navulkanizované vrstvy pryže připojen hmotný kotouč (činná hmota tlumiče). Náboj tlumiče tvoří obvykle řemenice, na kterou je pomocí pryže připojen dodatečný hmotný kotouč nebo je řemenice rozdělená na dvě části z nichž jedna část sama tvoří činnou hmotu tlumiče. Při vzniku torzních vibrací je jejich energie zmařena na deformaci pryžové vrstvy, při které vzniká teplo, které přechází do okolí. [1],[2]

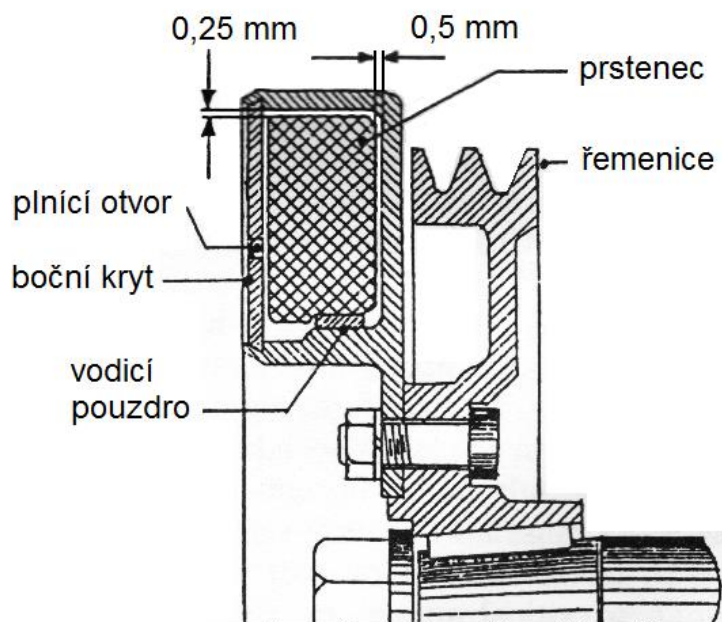


*Obr. 1 Pryžový tlumič torzních kmitů [3]*

## 1.2 TŘECÍ TORZNÍ TLUMIČE

Můžou být provedeny v několika variantách, se suchým třením mezi lamelami, třecí lamely mazané olejem nebo dnes nejčastěji používané, s kapalinovým třením. Kapalinový viskózní tlumič je složen z prstence (činné hmoty), který je umístěn uvnitř skříně tlumiče, která je

pevně spojená s klikovou hřídelí (resp. s řemenicí připevněnou ke hřídeli). Mezi vnitřním prstencem a skříní tlumiče je radiální a axiální vůle v řádu desetin milimetru. Vzniklý prostor mezi skříní tlumiče a prstencem vyplňuje velmi viskózní silikonový olej, jehož viskozita se v závislosti na teplotě jen velmi málo mění. Kvůli vsazení prstence do skříně tlumiče, bývá skříně opatřena bočním víkem, které je následně zaválcováno nebo svařeno se samotnou skříní. Pro naplnění tlumičem silikonovým olejem se používá dvou plnicích otvorů, které jsou po naplnění tlumiče vhodným způsobem utěsněny. Kvůli tomu, že silikonový olej ve velmi tenkých vrstvách a velkých smykových rychlostech ztrácí svoje mazací vlastnosti, bývá prstenec opatřen nalisovanými vodícími pouzdry z vhodného materiálu (např. bronz). Pokud jsou torzní vibrace hřídele jen velmi malé nebo nulové, prstenec se vlivem velké viskozity olejové vrstvy točí spolu se skříní. Při větších torzních vibracích dojde k situaci, kdy torzní moment hmoty kotouče překročí třecí moment olejové vrstvy a odtrhne se od skříně tlumiče. Dochází tak k relativnímu pohybu mezi prstencem a skříní (skluz), který vede ke vzniku tření a energie torzního kmitání se maří na teplo, které následně přejde do okolí. [1],[2]



Obr. 2 Kapalinový viskózní tlumič [2]

Rozdíl mezi pryžovým torzním tlumičem a kapalinovým viskózním tlumičem je v tom, že pryžový tlumič je naladěný na hlavní kritické otáčky a účinně potlačuje torzní kmity v těchto otáčkách. Kdežto kapalinový viskózní tlumič účinně potlačuje torzní kmity v celém provozním spektru otáček. [2]

### 1.3 DYNAMICKÉ TORZNÍ TLUMIČE

Někdy také nazývané jako kyvadlové eliminátory. U těchto tlumičů se energie kmitů nemaří, ale kompenzuje se pomocí přídatného torzního systému (kyvadla). K torznímu systému je připojena výkyvná hmota o shodné frekvenci vlastního kývání, jako je frekvence budícího momentu. Mění se tím spektrum torzních vibrací. Tlumič bývá naladěný na konkrétní řád harmonické složky budícího momentu a způsobí, že se rezonanční frekvence pro tento řád posune mimo pracovní spektrum otáček. Používá se zejména u leteckých motorů. [1]

## 2 ZADANÉ PARAMETRY MOTORU

Parametry klikového mechanismu a válcové jednotky vychází ze vznětového motoru tuzemského výrobce traktorů Zetor. Původní motor je řadový čtyřválec o zdvihovém objemu  $4\,156\text{ cm}^3$ . Z něho je pro účely této práce odvozen řadový šestiválec o celkovém zdvihovém objemu  $6\,234\text{ cm}^3$ . Veškeré díly pístní skupiny a ojnice zůstávají stejné s původním motorem. Stejně tak hlavní rozměry klikové hřídele, jako jsou průměry a délky hlavních a ojnicích čepů a rozteč válců. Zachovány byly také rozměry příruby pro setrvačnick i volného konce klikové hřídele, kde je na hřídel upevněno ozubené kolo pro pohon rozvodů a řemenice pro pohon příslušenství. Souhrn základních zadaných parametrů udává následující tabulka.

Tab. 1 Zadané parametry

parametr	značka	hodnota	jednotka
kompresní poměr	$\varepsilon$	18	[-]
vrtání	$D$	105	mm
zdvih	$Z$	120	mm
délka ojnice	$l_o$	215	mm
hmotnost pístu	$m_p$	1364	g
hmotnost pístního čepu	$m_{cep}$	614	g
hmotnost 1. pístního kroužku	$m_{1k}$	25	g
hmotnost 2. pístního kroužku	$m_{2k}$	18.9	g
hmotnost stíracího kroužku	$m_{sk}$	22.6	g
hmotnost pojistného kroužku	$m_{pk}$	4.7	g
hmotnost posuvného podílu ojnice	$m_1$	907	g
hmotnost rotačního podílu ojnice	$m_2$	1645	g
otáčky motoru při max. $M_k$	$n$	1480	$min^{-1}$

### 3 NÁVRH KONSTRUKČNÍHO PROVEDENÍ KLIKOVÉ HŘÍDELE

Podle zadaných parametrů původního klikového mechanismu, byla navržena kliková hřídel pro šestiválcovou variantu původního motoru. Konečný tvar jednotlivých zalomení byl navrhován s ohledem na technologii výroby hřídele. Ta bude vyráběna jako výkovek a následně obráběna a broušena na přesné rozměry. Tento výrobní postup se projevil zejména přítomností technologických úkosů na jednotlivých ramenech. Snahou přitom bylo co nejvíce omezit počet obráběných ploch a zlevnit tak celkové náklady na výrobu.

#### 3.1 NÁVRH USPOŘÁDÁNÍ JEDNOTLIVÝCH ZALOMENÍ A VYVÁŽENÍ

Návrh uspořádání klikové hřídele ovlivňují zejména následující faktory [4]:

- rovnoměrné rozestupy zážehů
- zatížení ložisek
- snaha o přirozené vyvážení sil a momentů
- vydatnost rezonancí vynuceného torzního kmitání

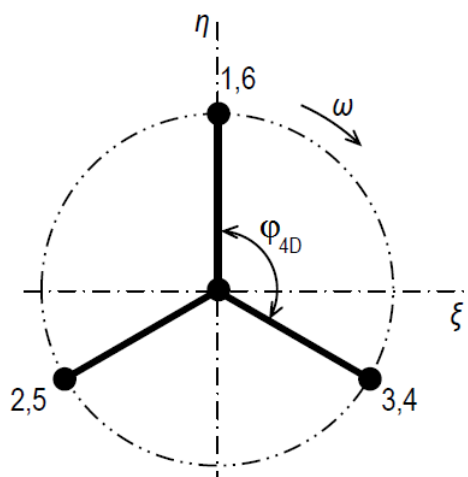
Úhel mezi jednotlivými zalomeními klikové hřídele, vychází z požadavku na pravidelné rozložení zážehů během spalovacího cyklu. V našem případě se jedná o čtyřdobý pracovní cyklus, který proběhne za dvě otáčky klikové hřídele ( $720^\circ$ ). Během těchto dvou otáček musí dojít k zážehům u všech válců. Pro čtyřdobý cyklus lze úhel pravidelného rozestupu zážehu vypočítat dle vzorce

$$\varphi_{4D} = \frac{720^\circ}{z} \quad (1)$$

kde  $z$ , je počet válců motoru.

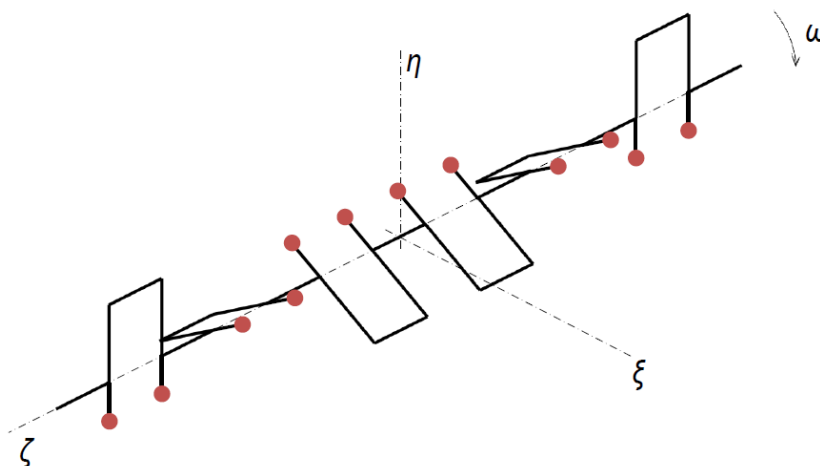
Pro šestiválcový motor  $\varphi_{4D} = 120^\circ$ . S ohledem na zatížení hlavních ložisek je snahou aby jednotlivé zážehy probíhaly po sobě v co možná nejvzdálenějších válcích [4]. Proto bylo zvoleno obvykle používané pořadí zážehů:

- 1 – 5 – 3 – 6 – 2 – 4



Obr. 3 Uspořádání klikové hřídele [5]

Kvůli zmírnění zatížení hlavních ložisek bylo použito silové vyvážení setrvačných sil rotujících částí pomocí dvojice vývažků na každém zalomení klikové hřídele. Prostorové uspořádání hřídele včetně znázornění silového vyvážení je patrné z následujícího schematického obrázku. Jako cíl bylo zvoleno vyvážit každé zalomení s přičtením 80% rotačního podílu ojnice.



Obr. 4 Silové vyvážení [5]

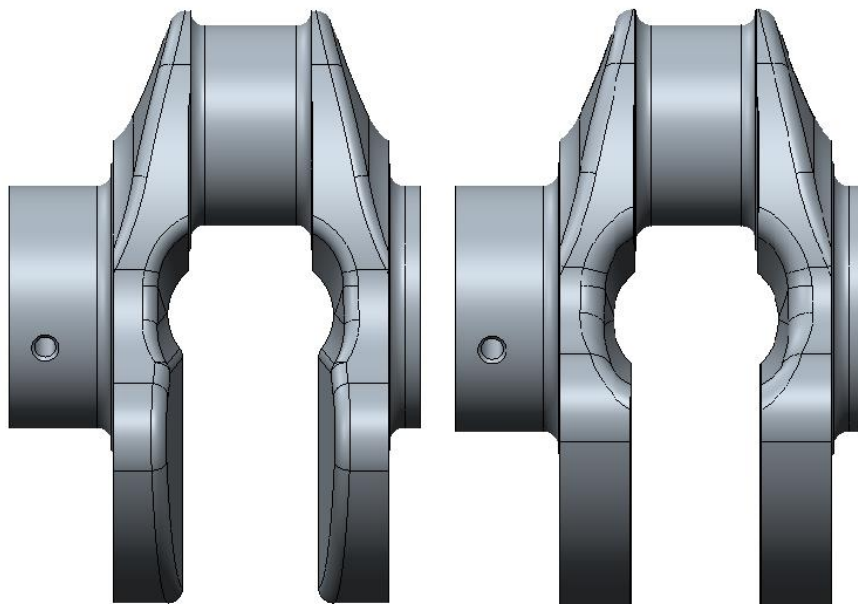
### 3.2 VYTVOŘENÍ 3D MODELU KLIKOVÉ HŘÍDELE

Prvním krokem samotného konstrukčního návrhu bylo vytvoření 3D modelu jednoho zalomení klikové hřídele v programu PTC Creo 2.0 a následné vyvážení tohoto zalomení. První návrh zalomení se vyznačuje menším množstvím obráběných ploch. Čela vývažků jsou obráběna pouze ze strany hlavních ložisek. Ze strany ojnicních ložisek jsou na vývažcích technologické úkosy kvůli kování výchozího polotovaru. Pozdější snahou o vyvážení takového zalomení však bylo zjištěno, že díky těmto technologickým úkosům chybí na vývažcích potřebné množství materiálu k vyvážení. Vzhledem k omezení rozměrů vývažků, které vyplývá z nutnosti montáže hřídele do daného bloku motoru, nešlo tuto chybějící hmotu umístit jinde. Proto jsem zvolil odlišný tvar vývažků, který sice vyžaduje více obrábění, ale umožňuje požadované vyvážení a tím i snížení zátěže hlavních ložisek a prodloužení jejich životnosti. Porovnání vývažků pro první variantu (méně obrábění) a finální variantu viz Obr. 5. Finální provedení jednoho zalomení hřídele viz Obr. 6.

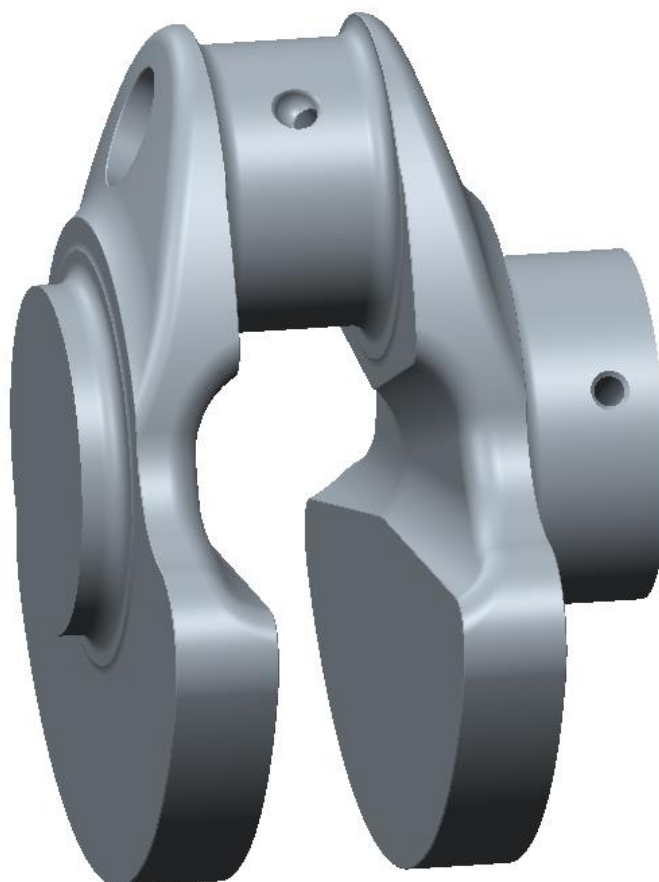
Kvůli snížení hmotnosti, kterou je třeba vyvážit za pomoci vývažků, byly provedeny dva šikmé odlehčovací vývrty na každém ojnicním čepu (Obr. 7). Odlehčovací vývrty nejsou na obou stranách stejné, aby nekolidovaly s mazacími otvory.

Přívod mazacího oleje ke kluznému ložisku ojnicního čepu byl proveden dvěma šikmými vývrty (Obr. 8).

Vyvážení bylo provedeno vytvořením sestavy, kde na jedno zalomení klikové hřídele byl nasazen kroužek o hmotnosti 80% rotačního podílu ojnice. Pomocí optimalizačního nástroje programu PTC Creo 2.0 byla provedena analýza, kde se měnily vybrané parametry geometrie vývažků a přitom se sledovala požadovaná souřadnice polohy těžiště celé soustavy. Požadavkem bylo, aby těžiště soustavy leželo na ose rotace klikové hřídele, neboli dosáhnout pokud možno nulové vzdálenosti těžiště soustavy od osy rotace.

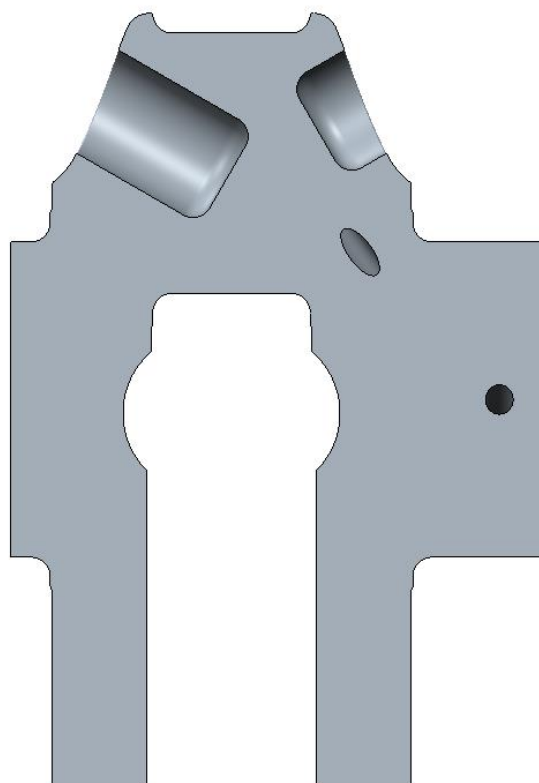


*Obr. 5 Srovnání tvaru vývažků (vlevo – první návrh, vpravo – finální návrh)*

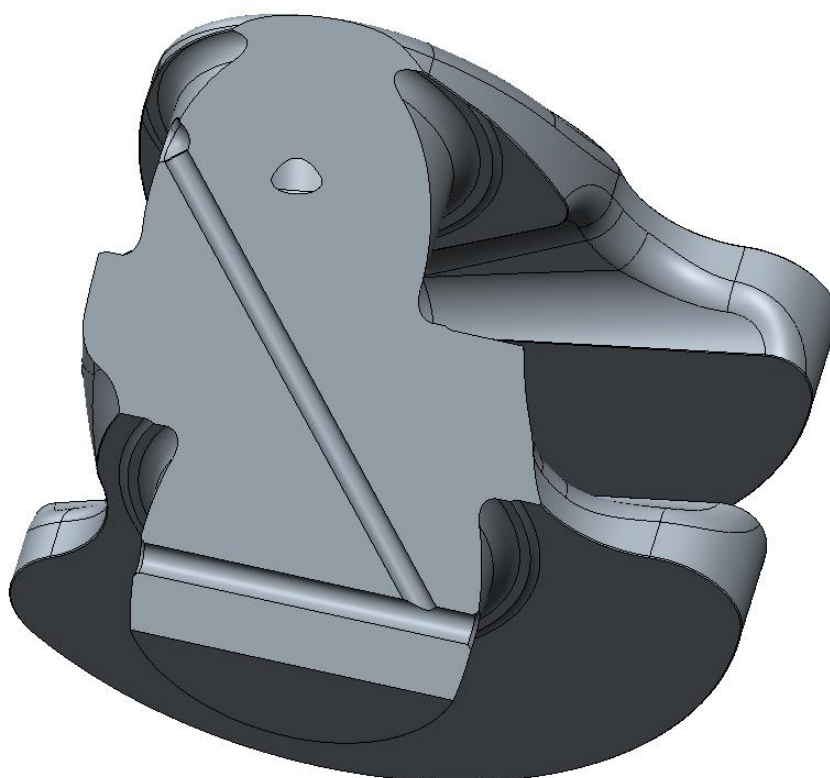


*Obr. 6 Zalomení klikové hřídele*



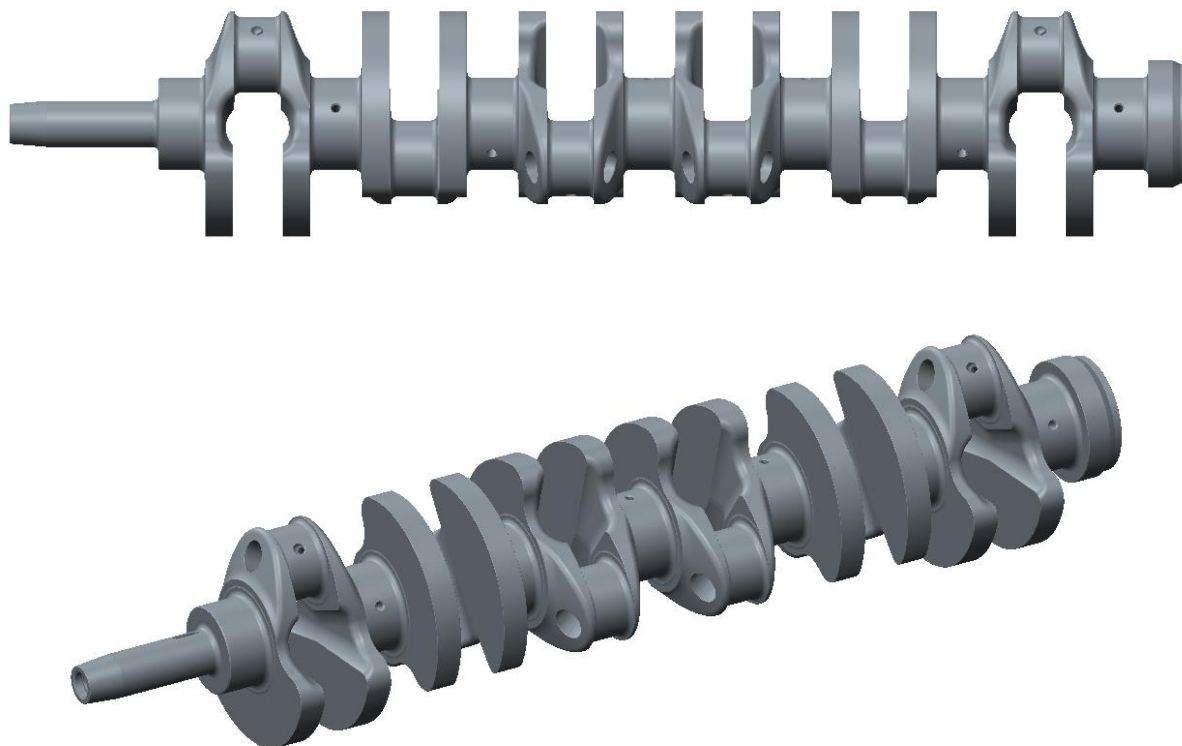


*Obr. 7 Odlehčovací vývrty ojničního čepu*



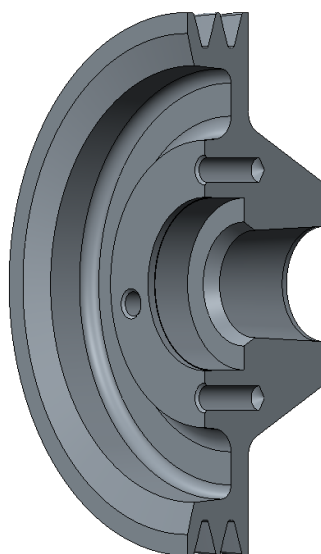
*Obr. 8 Provedení mazacích otvorů*

Na následujícím obrázku je pohled na celou klikovou hřídel, která má i volný konec a přírubu pro setrvačnick. Rozměry příruby a volného konce byly provedeny podle podkladů dodaných vedoucím práce, tak aby byly kompatibilní se zadanou řemenicí, setrvačником a ozubeným kolem pro pohon rozvodů.



*Obr. 9 Kliková hřídel*

Dále bylo podle zadaných parametrů nutné vytvořit také 3D model řemenice, který byl později použit pro stanovení jejího momentu setrvačnosti a pro účely návrhu torzního tlumiče.



*Obr. 10 Řemenice*

## 4 SILOVÉ PŮSOBENÍ NA KLIKOVÝ MECHANISMUS

Na klikový mechanismus spalovacího motoru působí tzv. primární síly a sekundární síly. Primární síly jsou způsobené tlakem plynů ve spalovacím prostoru, který působí na dno pístu, hlavu válce a stěny válce. Síla od talku plynů působící na dno pístu se přenáší přes pístní čep na tělo ojnice a odtud dále na ojniční čep klikové hřídele, kde vyvozuje krouticí moment. Sekundární síly jsou síly setrvačné, které závisí na hmotnosti jednotlivých částí mechanismu a na jejich zrychlení. [1]

### 4.1 KINEMATIKA KLIKOVÉHO MECHANISMU

Prvním krokem výpočtu kinematických veličin je odvození vztahu pro dráhu pístu v závislosti na úhlu natočení klikové hřídele. Ačkoli lze tento vztah vyjádřit naprosto přesně, v praxi se jeho přesná podoba nepoužívá. Namísto toho se původní vztah vyjádří nekonečnou řadou podle binomické věty a pro výpočet se použijí pouze první dva členy této řady tzv. harmonické složky.[6] Dráha pístu  $s$  a její dvě harmonické složky  $s_1$  a  $s_2$  jsou tak dány vztahy [6]

$$s = r \left[ (1 - \cos \alpha) + \frac{\lambda}{4} (1 - \cos 2\alpha) \right] \quad (2)$$

$$s_1 = r(1 - \cos \alpha) \quad (3)$$

$$s_2 = r \frac{\lambda}{4} (1 - \cos 2\alpha) \quad (4)$$

kde  $r$  je rameno klikové hřídele,  $\alpha$  je úhel natočení klikové hřídele a  $\lambda$  je klikový poměr daný vztahem

$$\lambda = \frac{r}{l_o} \quad (5)$$

přičemž  $l_o$  označuje délku ojnice neboli vzdálenost středů malého a velkého oka. Rychlost pístu  $v$  a její harmonické složky  $v_1$  a  $v_2$  se poté určí derivací dráhy podle času.

$$v = r\omega \left( \sin \alpha + \frac{\lambda}{2} \sin 2\alpha \right) \quad (6)$$

$$v_1 = r\omega \sin \alpha \quad (7)$$

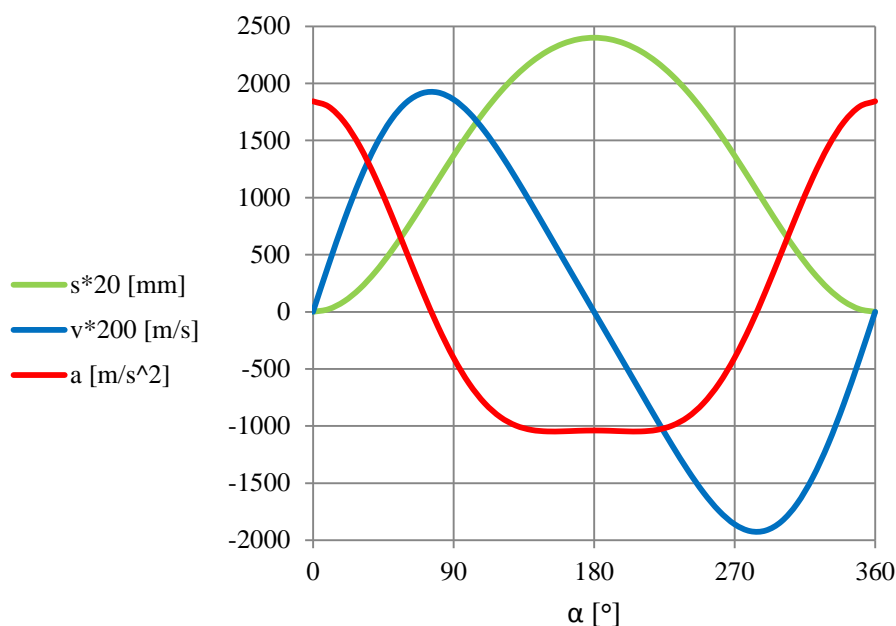
$$v_2 = r\omega \frac{\lambda}{2} \sin 2\alpha \quad (8)$$

kde  $\omega$  je úhlová rychlost klikové hřídele. Analogicky se derivací rychlosti podle času určí i zrychlení pístu  $a$  i jeho harmonické složky  $a_1$  a  $a_2$

$$a = r\omega^2 (\cos \alpha + \lambda \cos 2\alpha) \quad (9)$$

$$a_1 = r\omega^2 \cos \alpha \quad (10)$$

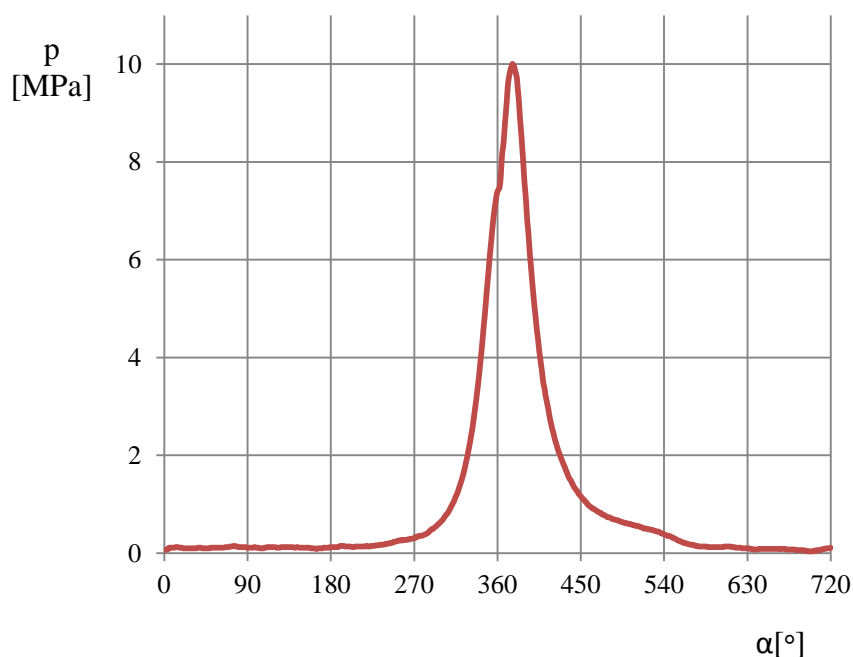
$$a_2 = r\omega^2 \lambda \cos 2\alpha \quad (11)$$



Obr. 11 Kinematika klikového mechanismu

## 4.2 SÍLY PŮSOBÍCÍ NA PÍSTNÍ ČEP

Nejdůležitější silou v klikovém mechanismu je síla od tlaku plynů  $F_p$ , která působí prostřednictvím pístu na pístní čep. Tato síla je funkcí spalovacího tlaku ve válci motoru a pro její určení je třeba mít k dispozici závislost spalovacího tlaku na úhlu natočení klikové hřídele tzv.  $p$ - $\alpha$  diagram. Hodnoty průběhu spalovacího tlaku použité pro další výpočty v této práci byly naměřeny na reálném motoru a byly součástí zadání této práce (Obr. 12).

Obr. 12  $p$ - $\alpha$  diagram

Spalovací tlak působí na kruhový průřez pístu z jedné strany, kdežto ze strany druhé působí tlak v klikové skříni, který musíme proto odečíst. V našem případě uvažujeme, že je tlak v klikové skříni roven tlaku atmosférickému. Síla od tlaku plynů  $F_p$  působící na ojniční čep je pak dána vztahem

$$F_p = \pi \frac{D^2}{4} (p - p_a) \quad (12)$$

kde  $D$  je vrtání válce,  $p$  je spalovací tlak ve válci a  $p_a$  je atmosférický tlak. Další silou působící na pístní čep je setrvačná síla posuvných částí daná vztahem

$$F_s = -(m_{ps} + m_1) \cdot a \quad (13)$$

kde  $a$  je zrychlení pístu,  $m_{ps}$  je hmotnost pístní skupiny a  $m_1$  je redukovaná hmotnost posuvných částí ojnice. Celková síla působící na pístní čep je pak

$$F_c = F_p + F_s \quad (14)$$

### 4.3 SÍLY PŮSOBÍCÍ NA OJNIČNÍ ČEP

Část celkové síly působící na pístní čep  $F_c$  se přenáší dále do klikového mechanismu prostřednictvím ojnice. Tato síla  $F_o$  působící v ose ojnice v sobě zahrnuje sílu od tlaku plynů i od posuvných částí mechanismu a je určena vztahem

$$F_o = \frac{F_c}{\cos \beta} \quad (15)$$

kde  $\beta$  je úhel odklonu ojnice, který lze vyjádřit vztahem

$$\beta = \sin^{-1}(\lambda \sin \alpha) \quad (16)$$

Síla  $F_o$  působí dále na ojniční čep, kde ji lze rozložit na radiální složku  $F_r$  a tečnou složku  $F_t$ .

$$F_r = F_o \cdot \cos(\alpha + \beta) \quad (17)$$

$$F_t = F_o \cdot \sin(\alpha + \beta) \quad (18)$$

Na ojniční čep působí však v radiálním směru také odstředivá síla rotačních částí  $F_{rod}$ , kterou lze vyjádřit vztahem

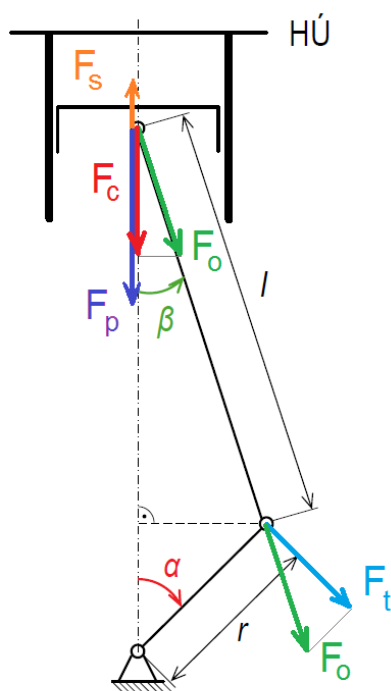
$$F_{rod} = m_2 \cdot r \cdot \omega^2 \quad (19)$$

kde  $m_2$  je redukovaná hmotnost rotačního podílu ojnice. Celková síla zatěžující ojniční čep v radiálním směru  $F_{rc}$  je pak dána součtem

$$F_{rc} = F_r + F_{rod} \quad (20)$$

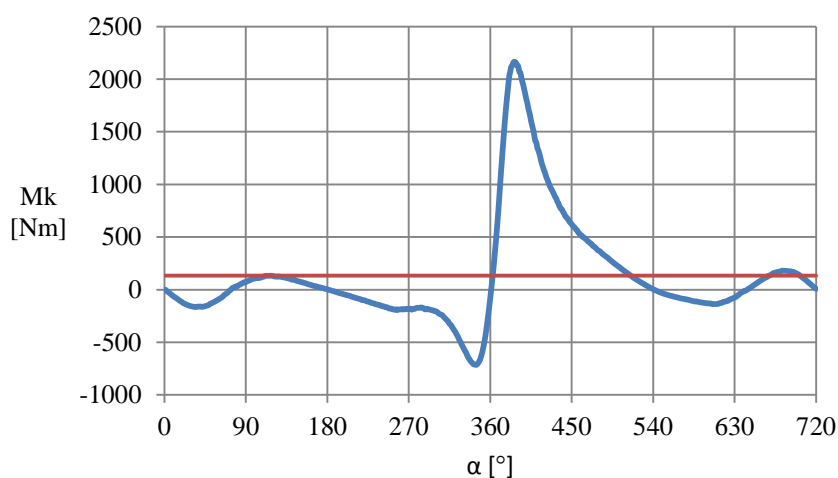
Pro další výpočty je pro nás však nejdůležitější celková tečná síla působící na ojnicní čep, která odpovídá síle  $F_t$ . Tato síla působí na rameni klikové hřídele  $r$  a vyvozuje tak točivý moment motoru též nazývaný jako krouticí moment  $M_k$ , který je vyjádřen následovně

$$M_k = F_t \cdot r \quad (21)$$



Obr. 13 Silové působení v klikovém mechanismu

Průběh krouticího momentu v jednom válci motoru pro zadané parametry je zobrazen na následujícím obrázku. Červeně je vyznačena střední hodnota, která činí 133 Nm.



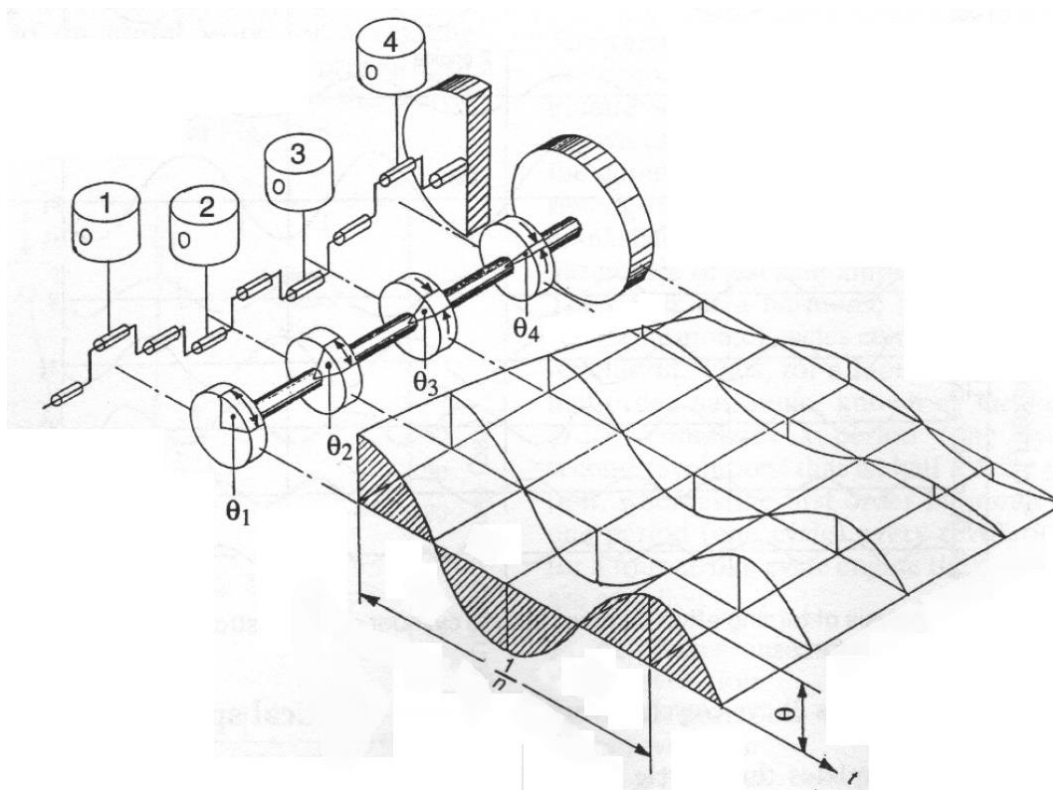
Obr. 14 Průběh krouticího momentu pro jeden válec

## 5 DYNAMICKÝ MODEL TORZNÍHO SYSTÉMU KLIKOVÉHO MECHANISMU

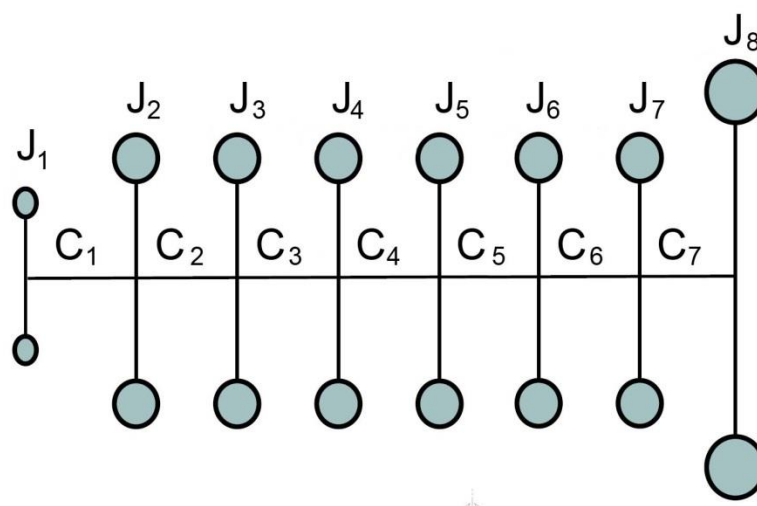
Pro výpočet vynuceného torzního kmitání byl sestaven dynamický model torzního systému klikového mechanismu tzv. náhradní torzní soustava nebo také ekvivalentní soustava. Tato soustava je dynamicky ekvivalentní s původním klikovým mechanismem a skládá se z hmotných kotoučů o konstantním momentu setrvačnosti spojených nehmotnou válcovou hřídelí, přičemž platí následující zjednodušující předpoklady[1]

- hmoty klikového ústrojí jsou redukovány do os válců
- hmoty jsou konstantní
- délky jsou konstantní
- hřídel je nehmotná

Jednotlivé úseky torzního modelu musí mít také přiřazenou určitou torzní tuhost, která musí být ekvivalentní s původní soustavou. Pro sestavení takovéto náhradní torzní soustavy je nutné stanovit redukované hmoty (resp. redukované momenty setrvačnosti) a redukované délky jednotlivých jejích částí. Na následujícím obrázku je zobrazena náhradní soustava pro řadový čtyřválcový motor s průběhem torzních výchylek na jednotlivých částech (hmotných kotoučích). Pro soustavu kde je setrvačnick motoru oproti ostatním částem velmi hmotný, což je nejčastější případ, nastává obvykle největší výchylka na hmotě, která je nejdále od setrvačnicku tj. na volném konci hřídele [1][2]. Na obrázku Obr. 16 je zobrazeno zjednodušené schéma náhradní torzní soustavy pro náš šestiválcový motor s popisem jednotlivých částí.



Obr. 15 Náhradní torzní soustava [2]



Obr. 16 Schéma náhradní torzní soustavy

## 5.1 REDUKCE HMOT A STANOVENÍ MOMENTŮ SETRVAČNOSTI

Momenty setrvačnosti jednotlivých částí klikové hřídele a řemenice byly zjištěny z 3D modelů v programu PTC Creo. Moment setrvačnosti setrvačnicku byl zadán vedoucím práce. Jednotlivé hodnoty těchto momentů setrvačnosti shrnuje následující tabulka.

Tab. 2 Momenty setrvačnosti jednotlivých částí klikové hřídele

Moment setrvačnosti [ $kg \cdot m^2$ ]	značka	hodnota
řemenice	$J_r$	0,016
volný konec	$J_{vk}$	$8,647 \cdot 10^{-4}$
setrvačnick	$J_{st}$	1,06
konec s přírubou	$J_{pr}$	$4,123 \cdot 10^{-3}$
jedno zalomení	$J_{zal}$	0,034

Při stanovení momentů setrvačnosti náhradního modelu u jednotlivých zalomení je nutné vzít v úvahu, že moment setrvačnosti ovlivňuje i pístní skupina a ojnice. Je proto potřeba provést redukci posuvných a rotačních hmot pístní skupiny. Redukovaná hmotnost posuvných hmot se ale v průběhu otáčky klikové hřídele mění, pro výpočet se však její proměnnost zanedbává a bere se její střední hodnota. Redukci si lze představit jako vytvoření náhradního kotouče s konstantním momentem setrvačnosti  $J_{red}$ , který má stejnou kinetickou energii jako původní soustava. Moment setrvačnosti  $J_{red}$  je dán vztahem [7]

$$J_{red} = J_{zal} + m_2 \cdot r^2 + m_{ph} \cdot \left( \frac{1}{2} + \frac{\lambda^2}{8} \right) \cdot r^2 \quad (22)$$

kde  $J_{zal}$  je moment setrvačnosti jednoho zalomení klikové hřídele a  $m_{ph}$  je hmotnost všech posuvných hmot, která je dána vztahem

$$m_{ph} = m_{ps} + m_1 \quad (23)$$



Při stanovení ostatních momentů setrvačnosti odpovídá první moment  $J_1$  prostému součtu momentů setrvačnosti řemenice a příslušné části volného konce hřídele. Stejně tak moment  $J_8$  je pouze součtem momentů setrvačnosti setrvačnicku a příslušné části hřídele s přírubou. Výsledné momenty setrvačnosti náhradního modelu jsou uvedeny v tabulce (Tab. XY).

## 5.2 REDUKCE DÉLEK

Dalším krokem v tvorbě náhradní torzní soustavy je tzv. redukce délek klikové hřídele. Původní hřídel respektive její části nahradíme válcovou hřídelí o redukované délce  $l_{red}$  a redukovaném průměru  $D_{red}$ , přičemž náhradní hřídel má stejnou torzní tuhost jako původní hřídel tj. působením stejného momentu se natočí o stejný úhel jako původní hřídel. Obvykle se za  $D_{red}$  volí průměr hlavního čepu klikové hřídele označený jako  $D_j$ . To bylo učiněno i v případě této práce [1]. Pro výpočet redukované délky zalomení byl použit následující vztah dle Ker Wilsona [8]

$$l_{zred} = D_{red}^4 \cdot \left[ \frac{L_j + 0,4 \cdot D_j}{D_j^4 - d_j^4} + \frac{L_c + 0,4 \cdot D_c}{D_c^4 - d_c^4} + \frac{R_0 - 0,2 \cdot (D_j + D_c)}{L_w \cdot B^3} \right] \quad (24)$$

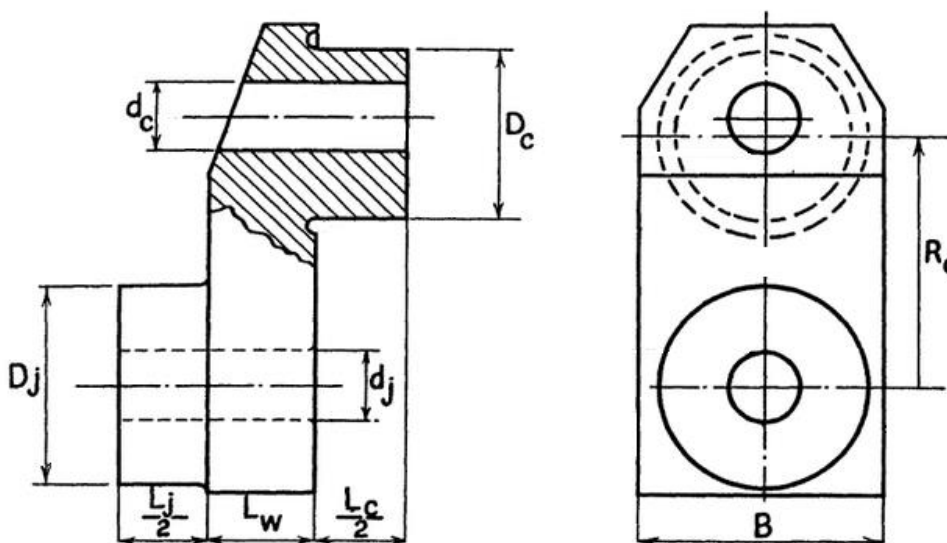
kde význam jednotlivých parametrů je patrný z obrázku Obr. 17. Redukovaná délka příruby pro setrvačnick je stanovena podle vztahu [1]

$$l_{redp} = l_p \cdot \frac{D_j^4}{D_{roz}^4} \quad (25)$$

kde  $l_p$  je délka příruby a  $D_{roz}$  je roztečný průměr závitů pro šrouby na přírubě. Redukovaná délka volného konce hřídele je vyjádřena vztahem [1]

$$l_{redvk} = l_{vk} \cdot \frac{D_j^4}{D_{vk}^4} \quad (26)$$

kde  $l_{vk}$  je délka volného konce hřídele a  $D_{vk}$  je průměr volného konce hřídele.



Obr. 17 Význam jednotlivých parametrů [8]

### 5.3 STANOVENÍ TORZNÍCH TUHOSTÍ

Jednotlivé hmotné kotouče náhradního modelu jsou spojeny nehmotnými válcovými hřídelemi s daným redukováným průměrem a redukovanou délkou. Pro další výpočet, je nutné stanovit torzní tuhosti jednotlivých částí náhradního modelu. Torzní tuhost každé části je dána vztahem

$$c = \frac{G \cdot I_p}{l_{red}} \quad (27)$$

kde  $G$  je modul pružnosti ve smyku,  $l_{red}$  je redukováná délka příslušné části náhradního modelu a  $I_p$  je polární moment setrvačnosti redukováné hřídele daný vztahem

$$I_p = \frac{\pi \cdot D_j^4}{32} \quad (28)$$

Výsledné hodnoty torzních tuhostí náhradního modelu jsou spolu s momenty setrvačnosti uvedeny v následující tabulce.

Tab. 3 Parametry torzního modelu

Momenty setrvačnosti [kg · m <sup>2</sup> ]		Torzní tuhosti [ $\frac{N \cdot m}{rad}$ ]	
značka	hodnota	značka	hodnota
$J_1$	0,017	$c_1$	145467
$J_2$	0,046	$c_2$	1036515
$J_3$	0,046	$c_3$	1036515
$J_4$	0,046	$c_4$	1036515
$J_5$	0,046	$c_5$	1036515
$J_6$	0,046	$c_6$	1036515
$J_7$	0,046	$c_7$	1500166
$J_8$	1,064	-	-

## 6 VLASTNÍ FREKVENCE A VLASTNÍ TVARY KMITÁNÍ

Vlastní frekvence soustavy souvisí s tzv. vlastním nebo také volným kmitáním. Vlastní kmitání je harmonický pohyb, který se udržuje v soustavě po počátečním impulzu. Předpokládáme přitom, že na soustavu nepůsobí žádné vnější síly a žádné vnitřní ani vnější odpory. Vlastní frekvencí je potom frekvence tohoto harmonického pohybu. Pokud bychom hřídel zkroutily o určitý úhel (počáteční výchylka) a poté jí uvolnily, dodáme soustavě tzv. počáteční impulz. Soustava poté začne kmitat. V okamžiku uvolnění hřídele mají všechny hmoty maximální nakroucení neboli amplitudu. Poté se amplitudy v čase zmenšují až k nule (rovnovážná poloha) a poté opět zvětšují v opačném smyslu, až dosáhnou opět svého maxima. Absolutní velikost amplitud vždy záleží na počátečním nakroucení hřídele, nám však stačí určit jejich poměrnou velikost (poměrné amplitudy). Jedná se o amplitudy vztažené v našem případě k první amplitudě, které se přiřadí jednotková velikost. Existují však místa na klikové hřídeli, kde je výchylka v průběhu času stále nulová tzv. vibrační uzly. Podle počtu těchto vibračních uzlů nazýváme vlastní kmitání jednouzlové nebo také kmitání 1. stupně, dvouzlové (2. stupně) atd. U konkrétní soustavy existuje  $(n - 1)$  vibračních uzlů resp. stupňů kmitání, kde  $n$  je počet hmot soustavy. Grafické zobrazení průběhu poměrných amplitud se nazývá výkmitová čára, která určuje tzv. tvar vlastního kmitání. [1]

Pro výpočet vycházíme z pohybové rovnice volného netlumeného kmitání, která má tvar

$$M\ddot{q} + Cq = 0 \quad (29)$$

kde  $M$  je matice hmotnosti

$$M = \begin{vmatrix} J_1 & 0 & 0 & 0 & 0 & 0 & 0 & 0 \\ 0 & J_2 & 0 & 0 & 0 & 0 & 0 & 0 \\ 0 & 0 & J_3 & 0 & 0 & 0 & 0 & 0 \\ 0 & 0 & 0 & J_4 & 0 & 0 & 0 & 0 \\ 0 & 0 & 0 & 0 & J_5 & 0 & 0 & 0 \\ 0 & 0 & 0 & 0 & 0 & J_6 & 0 & 0 \\ 0 & 0 & 0 & 0 & 0 & 0 & J_7 & 0 \\ 0 & 0 & 0 & 0 & 0 & 0 & 0 & J_0 \end{vmatrix} \quad (30)$$

$C$  je matice tuhosti

$$C = \begin{vmatrix} c_1 & -c_1 & 0 & 0 & 0 & 0 & 0 & 0 \\ -c_1 & c_1 + c_2 & -c_2 & 0 & 0 & 0 & 0 & 0 \\ 0 & -c_2 & c_2 + c_3 & -c_3 & 0 & 0 & 0 & 0 \\ 0 & 0 & -c_3 & c_3 + c_4 & -c_4 & 0 & 0 & 0 \\ 0 & 0 & 0 & -c_4 & c_4 + c_5 & -c_5 & 0 & 0 \\ 0 & 0 & 0 & 0 & -c_5 & c_5 + c_6 & -c_6 & 0 \\ 0 & 0 & 0 & 0 & 0 & -c_6 & c_6 + c_7 & -c_7 \\ 0 & 0 & 0 & 0 & 0 & 0 & -c_7 & c_7 \end{vmatrix} \quad (31)$$

vektor  $\mathbf{q}$  je řešením rovnice a má následující předpokládaný tvar

$$\mathbf{q} = \mathbf{a} \cdot e^{i\Omega t} \quad (32)$$

kde  $\mathbf{a}$  je vektor amplitud výchylek a  $i$  je imaginární jednotka. Po dosazení do pohybové rovnice dostaneme vztah

$$(\mathbf{C} - \Omega^2 \cdot \mathbf{M}) \cdot \mathbf{a} = \mathbf{0} \quad (33)$$

vynásobením  $\mathbf{M}^{-1}$  se vztah převede na tzv. standardní problém vlastních čísel

$$(\mathbf{M}^{-1} \cdot \mathbf{C} - \Omega^2 \mathbf{E}) \cdot \mathbf{a} = \mathbf{0} \quad (34)$$

kde  $\mathbf{E}$  je jednotková matice. Zavedeme substituci

$$\mathbf{A} = \mathbf{M}^{-1} \cdot \mathbf{C} \quad (35)$$

po dosazení

$$(\mathbf{A} - \Omega^2 \mathbf{E}) \mathbf{a} = \mathbf{0} \quad (36)$$

Pokud zavedeme substitute  $\lambda = \Omega^2$  a  $\mathbf{x} = \mathbf{q}$  získáme zápis standardního problému vlastních čísel v obvyklém tvaru

$$(\mathbf{A} - \lambda \mathbf{E}) \mathbf{x} = \mathbf{0} \quad (37)$$

Hledáme kořeny rovnice tj. vektor vlastních čísel  $\lambda$  matice  $\mathbf{A}$ , ze kterého vyjádříme vlastní úhlové rychlosti  $\Omega = \sqrt{\lambda}$ . Vlastní vektory matice  $\mathbf{A}$  pak vyjadřují vlastní tvary kmitání. Převod vlastních úhlových rychlostí na vlastní frekvence otáček je dán vztahem

$$N = \frac{\Omega}{2 \cdot \pi} \quad (38)$$

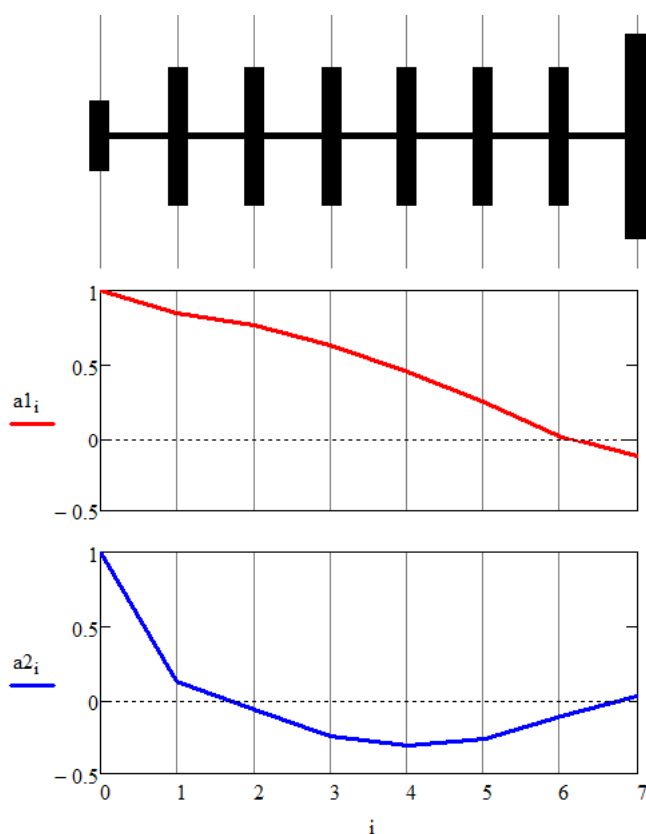
Dále byl proveden kontrolní výpočet vlastních frekvencí a vlastních tvarů kmitání také pomocí programu HOLZER.exe, který byl poskytnut vedoucím práce. Jmenovaný program funguje na principu tzv. Holzerovy iterační metody. Porovnání hodnot výsledných vlastních frekvencí, pomocí problému vlastních čísel v programu Mathcad a kontrolní výpočet pomocí programu HOLZER.exe, je znázorněno v následující tabulce.

Tab. 4 Vlastní frekvence

řád vlastní frekvence	vlastní frekvence [Hz]	
	Mathcad	HOLZER.exe
1.	197,57	197,42
2.	450,68	451,22
3.	614,45	613,83
4.	911,34	909,81
5.	1175,09	1173,06
6.	1367,59	1365,20
7.	1478,85	1476,26

Porovnáním výsledků vlastních frekvencí z obou programů je patrné, že rozdíly u obou použitých metod jsou téměř zanedbatelné. Protože byly všechny pomocné výpočty v této práci prováděny v programu Mathcad, byly pro další výpočet z praktických důvodů použity hodnoty vlastních frekvencí vypočítané v tomto programu. Další výpočty v této práci se pak zabývají pouze první a druhou vlastní frekvencí  $\Omega_1$  a  $\Omega_2$ , protože frekvence vyšších řádů nemají velký praktický význam. Z praktického hlediska je nejvíce důležitá 1. vlastní frekvence.

Na následujícím obrázku jsou zobrazeny výsledné tvary jedouzlového a dvouzlového kmitání.



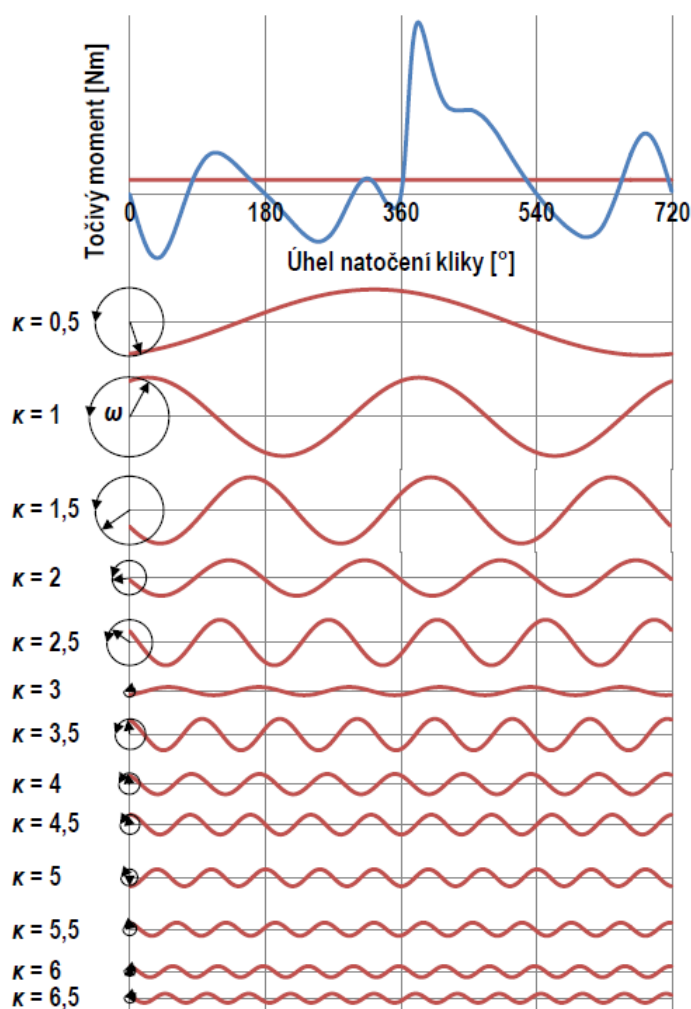
Obr. 18 První a druhý vlastní tvar kmitání

## 7 VYNUCENÉ TORZNÍ KMITÁNÍ

Ve skutečnosti působí v soustavě tlumící odpory, které volné kmitání rychle utlumí. Toto kmitání tak rychle zaniká a není z hlediska pevnosti nebezpečné. Mnohem nebezpečnější je vynucené kmitání, které vzniká působením periodicky proměnného krouticího momentu na jednotlivých klikách. [1]

### 7.1 HARMONICKÁ ANALÝZA KROUTICÍHO MOMENTU

Jak bylo řečeno výše, krouticí moment motoru je periodicky proměnný. Pokud se zaměříme na průběh krouticího momentu na jednom zalomení klikové hřídele, opakuje se u čtyřdobého motoru vždy po  $720^\circ$  tj. po dvou otáčkách klikové hřídele. Každý takový průběh se dá vyjádřit součtem sinusovek neboli Fourierovou řadou. Mluvíme o harmonické analýze krouticího momentu. Jednotlivé sinusovky se nazývají harmonické složky, které mají různou amplitudu a jsou vůči sobě fázově posunuté (viz. Obr. 14). Rozeznáváme řád harmonické složky  $\kappa$ . Tento řád je násobkem otáček klikové hřídele a vyjadřuje, kolik period dané harmonické složky proběhne za jednu otáčku klikové hřídele. U čtyřdobých motorů nabývá hodnot  $\kappa = k \cdot \frac{1}{2}$ , kde  $k = 1, 2, 3, \dots$  tj. celistvé násobky jedné poloviny. [1]

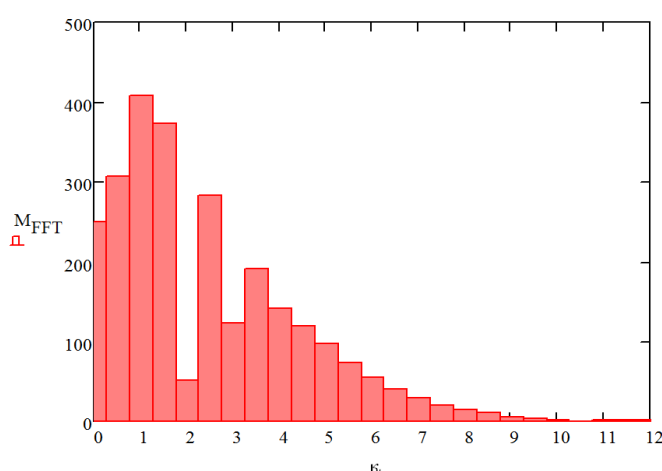


Obr. 19 Rozklad točivého momentu na harmonické složky[9]

Rozklad točivého momentu na jeho harmonické složky byl proveden podle následujícího vztahu [1]

$$M_{hs} = \frac{2}{n} \cdot \sum_{j=0}^{n-1} \left[ M_j \cdot e^{i \cdot \left( k \cdot 2 \cdot \frac{\pi}{j} \right)} \right] \quad (39)$$

kde  $k$  nabývá v našem případě hodnot  $k = 0, 1, 2 \dots 24$ , protože jsme původní průběh momentu vyjádřili pomocí 25 harmonických složek, které odpovídají řádům harmonické složky  $\kappa = \frac{1}{2}, 1, \frac{3}{2}, \dots, 12$ ,  $i$  je imaginární jednotka,  $n$  je počet vstupních hodnot průběhu krouticího momentu (v našem případě  $n = 720$ ). Výsledný průběh harmonické analýzy krouticího momentu je zobrazen na následujícím obrázku.



Obr. 20 Harmonická analýza

## 7.2 KRITICKÉ OTÁČKY

Pokud se podíváme na první vlastní frekvenci soustavy označenou  $\Omega_1$  a druhou vlastní frekvenci označenou jako  $\Omega_2$ , odpovídají těmto vlastním frekvencím určité otáčky motoru. Tyto otáčky nazýváme rezonanční nebo také kritické, protože při provozu motoru při otáčkách, které mají frekvenci otáčení shodnou s vlastní frekvencí soustavy, dojde k tzv. rezonanci (zvětšení amplitudy kmitání). V našem případě odpovídají 1. a 2. vlastní frekvenci následující otáčky motoru:

- $\Omega_1 = 180 \text{ Hz}$  odpovídá otáčkám  $n_1 = 10\,800 \text{ min}^{-1}$
- $\Omega_2 = 431 \text{ Hz}$  odpovídá otáčkám  $n_2 = 25\,850 \text{ min}^{-1}$

Je zřejmé, že u našeho motoru, který má maximální provozní otáčky  $2\,400 \text{ min}^{-1}$ , nelze otáček  $n_1$  ani  $n_2$  nikdy dosáhnout. Spalovací motor však nemá pouze kritické otáčky, které odpovídají přímo vlastním frekvencím, ale má naopak mnoho kritických otáček. Každá jednotlivá harmonická složka krouticího momentu totiž vybudí vynucené kmitání o stejné frekvenci jako má tato složka. Při otáčkách motoru  $n$  vybudí harmonická složka řádu  $\kappa$  vynucené kmitání s frekvencí  $(n \cdot \kappa)$ . Přestože je kritických otáček velké množství, nejsou všechny z hlediska pevnosti nebezpečné. Podstatnou roli zde totiž hraje vydatnost rezonancí, která bude popsána dále. Kritické otáčky se vždy vztahují ke konkrétnímu typu kmitání, jednonuzlové, dvojnuzlové atd. [1]

Kritické otáčky jednuzlového kmitání lze vypočítat ze vztahu:

$$N_{kr1} = \frac{N_1}{\kappa} \quad (40)$$

kritické otáčky dvojuzlového kmitání pak:

$$N_{kr2} = \frac{N_2}{\kappa} \quad (41)$$

Analogicky by se daly spočítat i kritické otáčky pro kmitání s větším počtem uzlů. Jak bylo ale dříve řečeno, kmitání vyšších řádů nemá z hlediska namáhání klikového mechanismu větší význam.

V následující tabulce jsou uvedeny kritické otáčky příslušné jednuzlovému a dvojuzlovému kmitání. Červeně jsou vyznačeny kritické otáčky jednuzlového a dvojuzlového kmitání, které spadají do provozního spektra otáček.

Tab. 5 Kritické otáčky

řád harmonické složky	rezonanční otáčky	
	1. tvar kmitání	2. tvar kmitání
$\kappa$ [-]	$N_{kr1} [min]$	$N_{kr2} [min]$
0,5	23710	54082
1	11855	27041
1,5	7903	18027
2	5927	13520
2,5	4742	10816
3	3952	9014
3,5	3387	7726
4	2964	6760
4,5	2634	6009
5	2371	5408
5,5	2155	4917
6	1976	4507
6,5	1824	4160
7	1694	3863
7,5	1581	3605
8	1482	3380
8,5	1395	3181
9	1317	3005
9,5	1248	2846
10	1185	2704
10,5	1129	2575
11	1078	2458
11,5	1031	2351
12	988	2253



### 7.3 VYDATNOST REZONANCÍ

Podstatný význam pro velikost výsledné amplitudy kmitání má tzv. vydatnost rezonancí, která je určena vektorovým součtem poměrných amplitud, dle následujícího vztahu [1]

$$\varepsilon_{\kappa} = \sqrt{\left[ \sum_{i=1}^z a_i \cdot \sin(\kappa \cdot \psi_i) \right]^2 + \left[ \sum_{i=1}^z a_i \cdot \cos(\kappa \cdot \psi_i) \right]^2} \quad (42)$$

kde  $z$  je počet válců motoru,  $a_i$  je poměrná amplituda  $i$ -tého zalomení klikové hřídele pro daný tvar kmitání a  $\psi_i$  je příslušný úhel rozestupu zážehů, který vyjadřuje fázové posuvy jednotlivých budících momentů (v našem případě pro pořadí zážehů 1 – 5 – 3 – 6 – 2 – 4, jsou rozestupy zážehů  $0^\circ - 480^\circ - 240^\circ - 600^\circ - 120^\circ - 360^\circ$ ).

Největší vydatnost je obvykle u hlavních harmonických složek  $\kappa = \frac{z}{2} \cdot k$  tj. pro šestiválec jsou to řady  $\kappa = 3, 6, 9, \dots$

### 7.4 TORZNÍ VÝCHYLKY V REZONANCÍ

Torzní výchylky v rezonanci pro místo s největší výchylkou tj. pro volný konec hřídele lze určit dle vztahu [1]

$$\Phi = \frac{M_{hs} \cdot \varepsilon_{\kappa}}{s_o \cdot \Omega \cdot \sum_{i=1}^z (a_i)^2} \quad [rad] \quad (43)$$

kde  $\Omega$  je vlastní frekvence příslušného tvaru kmitání a  $s_o$  je součinitel tlumících odporů, jehož hodnota byla po konzultaci s vedoucím práce zvolena pro daný motor jako

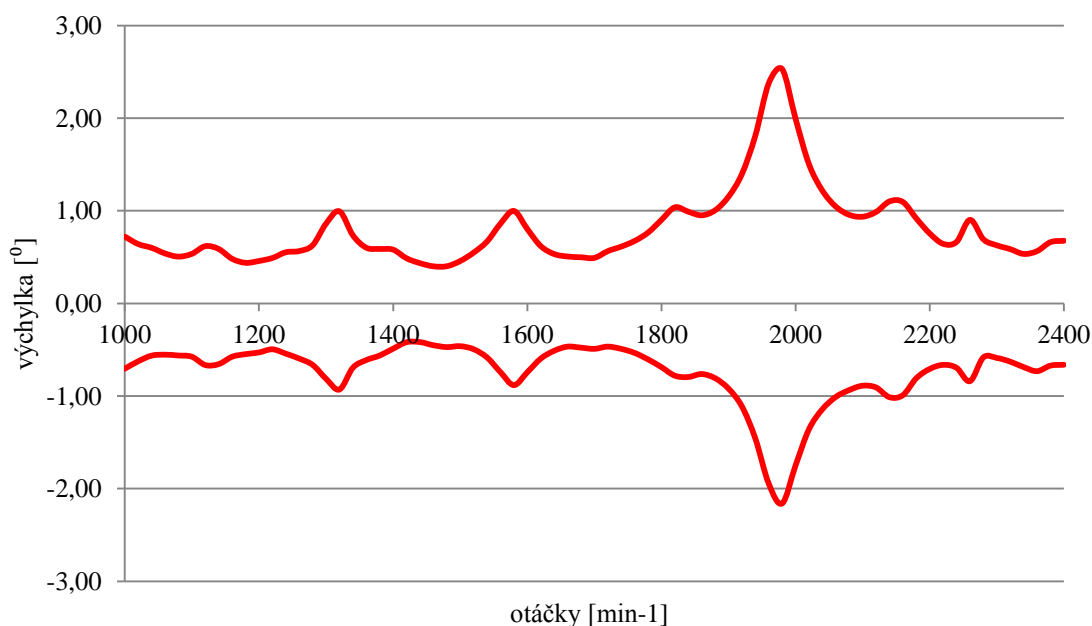
$$s_o = 2,5 \text{ N} \cdot \text{m} \cdot \text{s} \cdot \text{rad}^{-1}$$

Výsledné hodnoty výchylek volného konce klikové hřídele jsou zobrazeny v následující tabulce. Hodnoty  $\Phi_1$  odpovídají jednouzlovému a  $\Phi_2$  dvojnouzlovému kmitání.

Tab. 6 Výchylka volného konce

řád harmonické složky	výchylka		řád harmonické složky	výchylka	
$\kappa [-]$	$\Phi_1 [^\circ]$	$\Phi_2 [^\circ]$	$\kappa [-]$	$\Phi_1 [^\circ]$	$\Phi_2 [^\circ]$
0,5	1,48	1,11	6,5	0,32	0,24
1	0,54	5,22	7	0,08	0,79
1,5	5,38	5,00	7,5	0,58	0,54
2	0,63	6,01	8	0,05	0,50
2,5	0,92	0,69	8,5	0,12	0,09
3	7,22	9,31	9	0,49	0,63
3,5	0,88	0,66	9,5	0,07	0,05
4	0,33	3,13	10	0,02	0,19
4,5	2,05	1,91	10,5	0,13	0,12
5	0,21	2,02	11	0,01	0,13
5,5	0,50	0,37	11,5	0,03	0,02
6	2,09	2,70	12	0,16	0,20

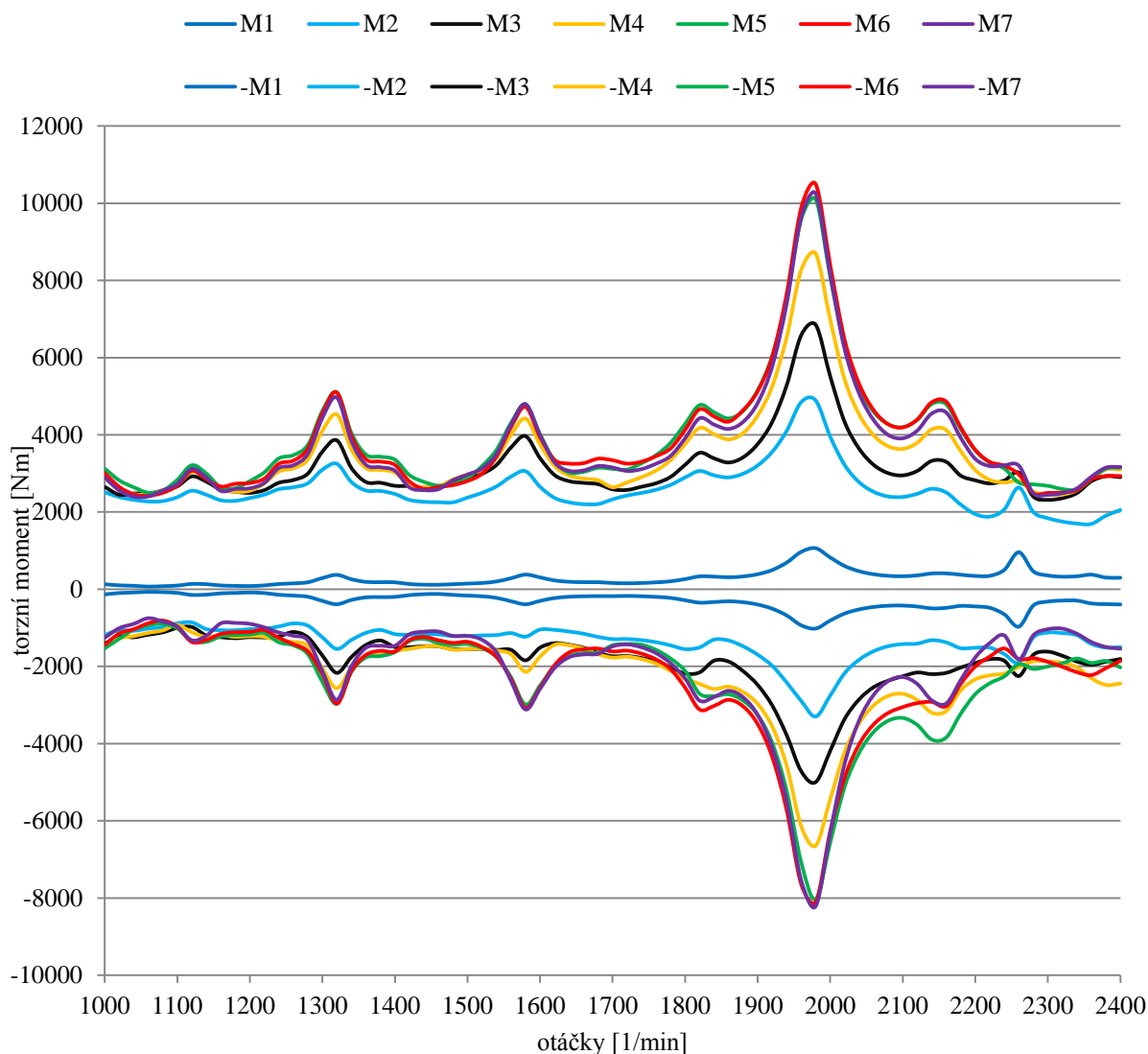
Z výsledků torzních výchylek vyplývá, že výchylky pro dvojuzlové kmitání, které spadají do provozního spektra otáček, jsou oproti kmitání jednuzlovému velmi malé a nebude proto potřeba se jimi při pevnostních výpočtech zabývat. Výpočet torzních výchylek v rezonanci provedený podle předchozích analytických vztahů je ale pouze orientační a pro účely pozdějších pevnostních výpočtů byly proto provedeny přesnější simulace na základě dynamického modelu zahrnujícího torzní kmity v softwaru vedoucího práce. Následující graf zobrazuje průběh torzní výchylky volného konce hřídele v závislosti na otáčkách motoru pro jednuzlové kmitání. Maximální torzní výchylka je  $2,53^\circ$  v kladné oblasti a  $2,16^\circ$  v záporné oblasti.



Obr. 21 Maximální torzní výchylky volného konce bez tlumiče

## 7.5 TORZNÍ MOMENTY VYPOČÍTANÉ Z DYNAMICKÉHO MODELU

Jak bylo řečeno, dochází při torzním kmitání k úhlovým výchylkám jednotlivých úseků klikové hřídele, což vede ke vzniku torzních momentů, které způsobují značné namáhání klikové hřídele. Pro pevnostní analýzu bylo nutné stanovit tyto torzní momenty na jednotlivých úsecích. K tomu byl použit opět simulační software od vedoucího práce. Výstupem z tohoto programu jsou průběhy torzních momentů na jednotlivých úsecích torzního modelu v závislosti na otáčkách motoru.

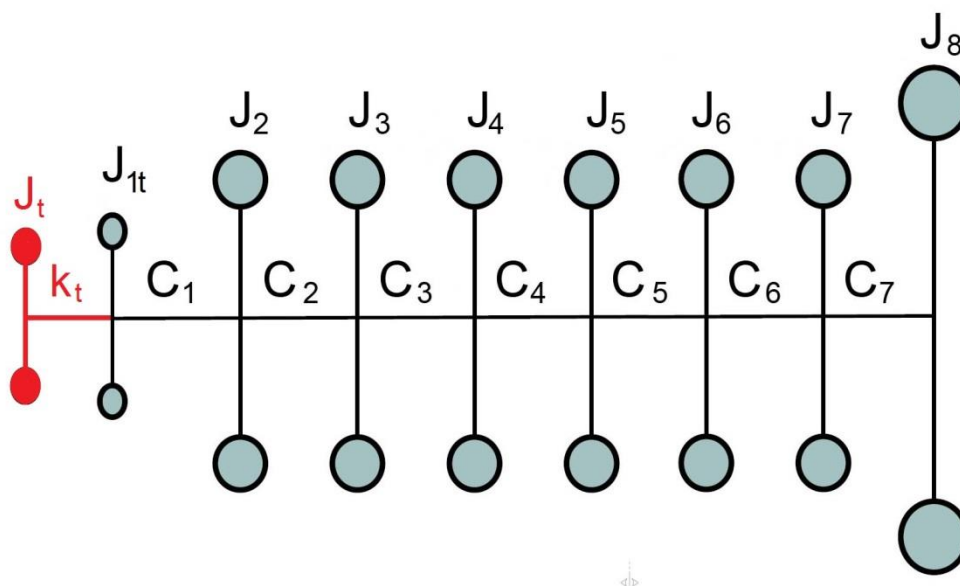


Obr. 22 Torzní momenty na jednotlivých úsecích

Nejvyšší hodnoty torzního momentu vychází na 6. a 7. úseku torzního modelu. Maximální hodnota je 10 496 Nm v kladné oblasti a 8 213 Nm v záporné oblasti. Přitom maximální hodnota krouticího momentu na každém jednotlivém válci dosahuje hodnoty 2 165 Nm. Krouticí moment vnesený do soustavy torzním kmitáním je tedy více jak 4krát vyšší. Dá se tedy předpokládat, že bude mít značný vliv na namáhání klikové hřídele a návrh tlumiče torzních kmitů je v našem případě opodstatněný.

## 8 DYNAMICKÝ MODEL TORZNÍHO SYSTÉMU KLIKOVÉHO MECHANISMU S TLUMIČEM

Pro potřeby výpočtu parametrů tlumiče torzních kmitů bylo nutné sestavit dynamický model torzního systému. Postup je totožný jako u systému bez tlumiče s tím rozdílem, že na řemenici bude umístěn tlumič a moment setrvačnosti této části modelu bude odlišný. Zbylé momenty setrvačnosti zůstanou stejné. Stejně tak zůstanou stejné redukované délky a tím pádem i torzní tuhosti všech částí modelu.



Obr. 23 Schéma torzního modelu s tlumičem

Moment setrvačnosti části hřídele s řemenicí i s přidáním tlumiče torzních kmitů lze pro účely analytického řešení zjednodušeně spočítat dle vztahu [1]

$$J_{1t} = J_1 + J_s + \frac{1}{2}J_t \quad (44)$$

kde  $J_1$  je původní moment setrvačnosti 1. hmoty modelu u soustavy bez tlumiče (tj. volného konce a řemenice),  $J_s$  je moment setrvačnosti tzv. skříně tlumiče a  $J_t$  je moment setrvačnosti činné hmoty tlumiče (vnitřní prsteneček).

Parametry  $J_s$  a  $J_t$  ovšem nejsou před samotným návrhem tlumiče známy, ale ovlivňují výpočetní vztahy pro samotný návrh parametrů tlumiče, jak bude popsáno dále. Úloha tedy není lineární a při návrhu je potřeba se k tomuto výpočetnímu kroku vracet a přepočítat hodnoty pro nové parametry.

Jak bylo uvedeno, všechny ostatní parametry torzního modelu zůstávají oproti modelu bez tlumiče nezměněny. Můžeme tak provést výpočet vlastních frekvencí a vlastního tvaru kmitání podle rovnic v kapitole 6, stejně jako u soustavy bez tlumiče a výpočet kritických otáček a vdatnosti rezonancí (rovnice 40-42).

## 9 NÁVRH SILIKONOVÉHO TLUMIČE TORZNÍCH KMITŮ

### 9.1 NÁVRH PARAMETRŮ SILIKONOVÉHO TLUMIČE TORZNÍCH KMITŮ

Prvním krokem při návrhu parametrů tlumiče bylo převést vícehmotovou soustavu na ekvivalentní jednohmotovou soustavu. Jednotlivé momenty setrvačnosti soustavy se převedou na tzv. efektivní moment setrvačnosti podle vztahu [1]

$$J_{ef} = \sum_{i=1}^n (J_i \cdot a_{t_i}^2) \quad (45)$$

kde  $n$  je počet hmot soustavy,  $J_i$  je moment setrvačnosti  $i$ -té části náhradní soustavy s tlumičem a  $a_{t_i}$  je příslušná poměrná amplituda soustavy s tlumičem.

Dalším krokem bylo zvolení tzv. poměrné velikosti setrvačnicku tlumiče, která je definována následujícím vztahem. [1]

$$\mu_t = \frac{J_t}{J_{ef}} \quad (46)$$

Hodnota  $\mu_t$  se dle literatury [1] obvykle volí v rozmezí (0,2 až 0,4), větší hodnoty již nemají velký vliv na zlepšení funkce tlumiče a pouze se neúčelně zvětšují jeho rozměry a hmotnost. Vzhledem k typu zadaného motoru a účelu jeho použití, není vyšší hmotnost překážkou. Proto byla zvolena návrhová hodnota poměrné velikosti setrvačnicku tlumiče na horní hranici doporučených hodnot  $\mu_t = 0,4$ .

Do rovnice (46) byla poté dosazena návrhová hodnota  $\mu_t$  a vyjádřil se návrhový moment setrvačnosti setrvačnicku tlumiče  $J_t$ . Konečná hodnota momentu setrvačnosti byla poté stanovena na  $J_t = 0,046 \text{ kg} \cdot \text{m}^2$ . Poté byl v programu PTC Creo vytvořen 3D model setrvačnicku tlumiče, který má odpovídající moment setrvačnosti a k němu také model skříně tlumiče. Následně byl z programu pro účely výpočtu zjištěn moment setrvačnosti skříně. Následně byly pro dané momenty setrvačnosti spočítány poměrné amplitudy soustavy s tlumičem, byl zjištěn efektivní moment setrvačnosti  $J_{ef}$  a poté podle vztahu (46) skutečná poměrná velikost setrvačnicku tlumiče, která vyšla  $\mu_t = 0,401$  tj. podařilo se dosáhnout navrhované hodnoty.

Dalším důležitým parametrem tlumiče torzních kmitů je jeho součinitel tlumení. Optimální součinitel tlumení lze spočítat podle vztahu [1]

$$k_{opt} = \frac{J_t \cdot \Omega_t}{\sqrt{1 + \mu_t}} \quad (47)$$

Kde  $\Omega_t$  je úhlová rychlost vlastních torzních kmitů soustavy se silikonovým torzním tlumičem, kterou lze určit ze vztahu [1]

$$\Omega_t = \Omega_1 \cdot \sqrt{\frac{2}{2 + \mu_t}} \quad (48)$$

kde  $\Omega_1$  je úhlová rychlost soustavy s tlumičem příslušející jednonuzlovému kmitání. Výsledná hodnota součinitele tlumení tlumiče byla podle výpočtu zvolena jako

$$k_t = 35,9 \text{ N} \cdot \text{m} \cdot \text{s} \cdot \text{rad}^{-1}$$

Dále lze určit tzv. optimální poměrný útlum ze vztahu [1]

$$\gamma_{opt} = \sqrt{\frac{1}{2 \cdot (1 + \mu_t) \cdot (2 + \mu_t)}} \quad (49)$$

Výsledné parametry tlumiče shrnuje následující tabulka

Tab. 7 Parametry tlumiče

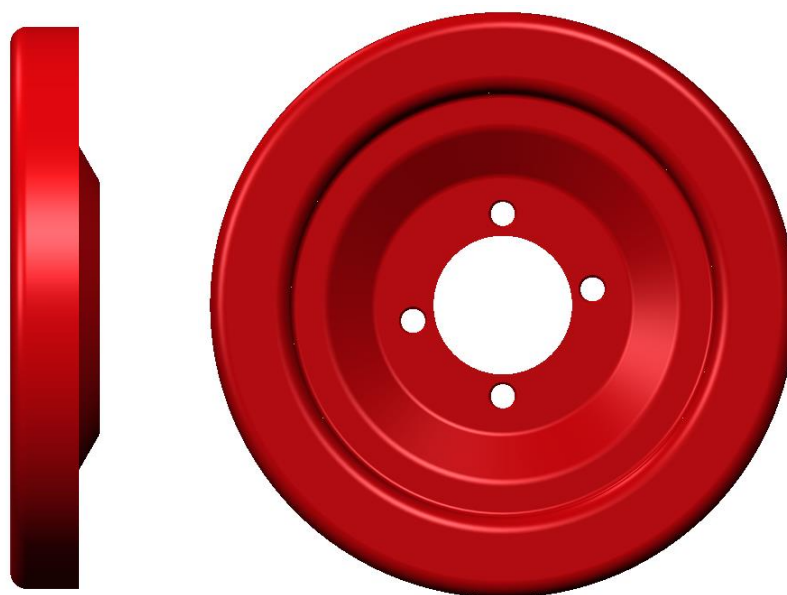
parametr	značka [ jednotka ]	hodnota
moment setrvačnosti skříně tlumiče	$J_s \text{ [kg} \cdot \text{m}^2]$	0,022
moment setrvačnosti setrvačnicku tlumiče	$J_t \text{ [kg} \cdot \text{m}^2]$	0,046
součinitel tlumení	$k_t \text{ [N} \cdot \text{m} \cdot \text{s} \cdot \text{rad}^{-1}]$	35,9

## 9.2 NÁVRH KONSTRUKČNÍHO USPOŘADÁNÍ

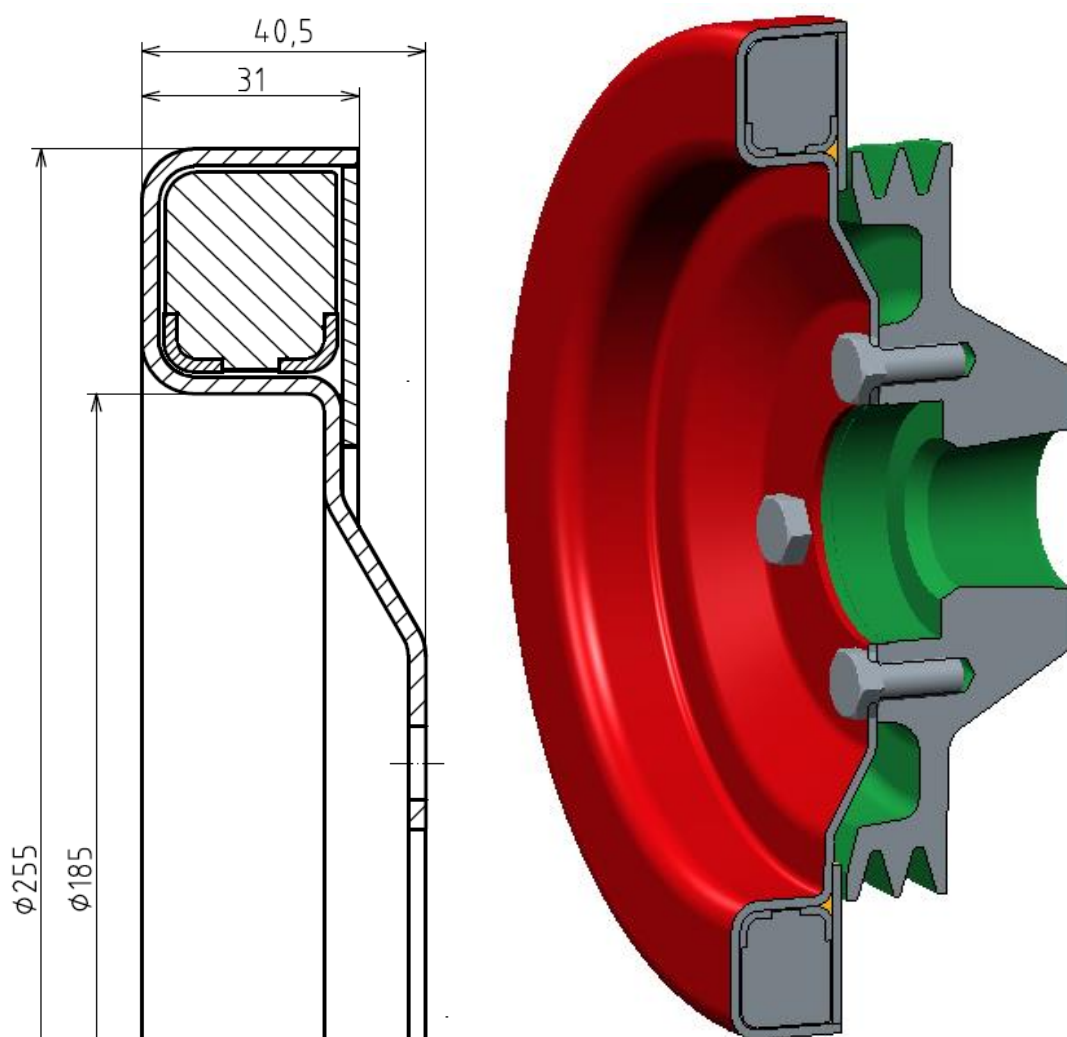
Pro konstrukční uspořádání torzního tlumiče u zadaného motoru přichází v úvahu dvě varianty provedení. Uchycení samostatného torzního tlumiče na původní řemenici nebo navrhnutí nové řemenice, která bude mít v sobě implementován tlumič torzních kmitů a bude s ním tvořit jeden celek. Pokud zohledníme požadavek na co největší využití původních již vyrobených dílů, jeví se jako nejlepší varianta vytvořit tlumič jako samostatný celek, který se přichytí na původní řemenici. Tlumič byl navržen tak aby ho bylo možné k řemenici upevnit bez jakýchkoliv úprav samotné řemenice. Uchycení je proto provedeno pomocí čtyř šroubů M10 do původních závitových děr na řemenici.

Vnitřní prsteneček tlumiče (činná hmota) je obráběný na přesný rozměr a umístěný ve skříně tlumiče (obal). Vedení prstence uvnitř skříně zajišťují dvě vodící pouzdra. Skříně tlumiče má kvůli smontovatelnosti boční víko, které bude po vložení vnitřního prstence a vodících pouzder po obvodu přivařeno k hlavní části skříně. Hlavní část skříně je zhotovena jako výlisek z ocelového plechu tloušťky 2,5 mm. Ze stejného plechu je i boční víko. Naplnění tlumiče silikonovým olejem bude zajištěno pomocí plnicích otvorů v bočním víku, které budou následně zaslepeny.

Na následujících obrázcích je zobrazen konstrukční návrh tlumiče, jeho hlavní rozměry a uchycení na řemenici.



Obr. 24 Tlumič torzních kmitů



Obr. 25 Základní rozměry tlumiče a upevnění na řemenici

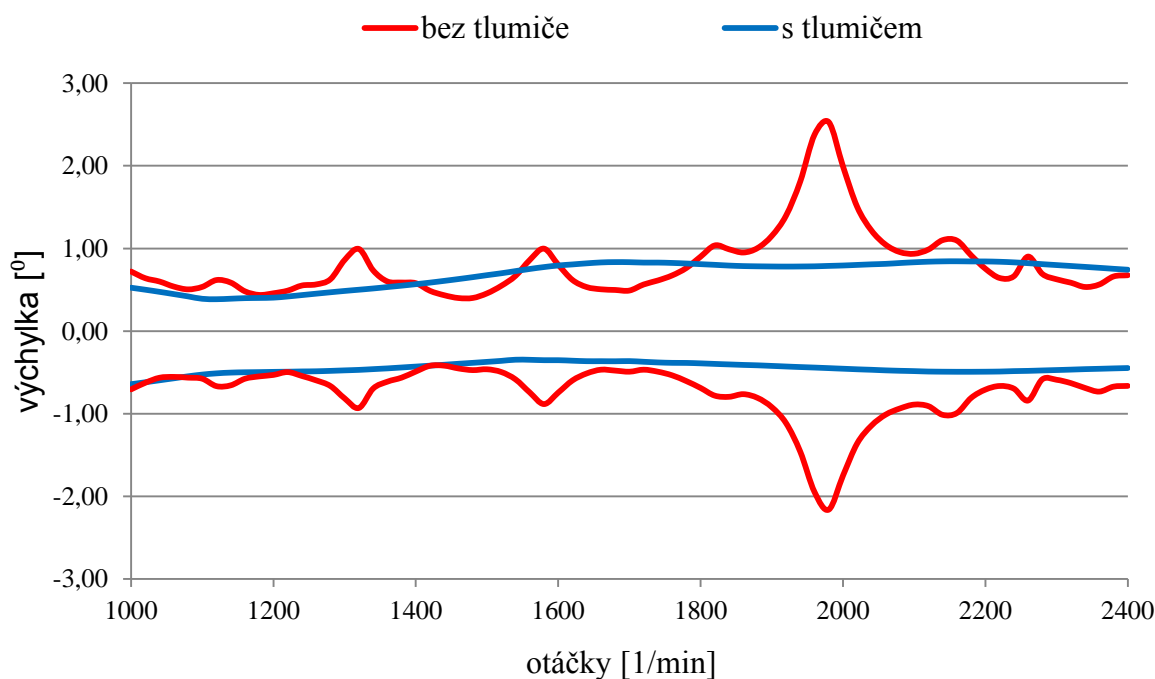
### 9.3 TORZNÍ VÝCHYLKY V REZONANCI PRO SOUSTAVU S TLUMIČEM

Pro výpočet torzní výchylky (amplitudy) volného konce v rezonanci u soustavy s tlumičem byl použit následující vztah [1]

$$\Phi_t = \frac{M_{hs} \cdot \varepsilon_{t\kappa}}{\Omega_t \cdot \left[ s_o \cdot \left( \sum_{i=1}^z a_{t_i}^2 \right) + \frac{k_t}{1 + \left( \frac{k_t}{J_t \cdot \Omega_t} \right)^2} \right]} \quad (50)$$

kde  $\varepsilon_{t\kappa}$  je vydatnost rezonancí pro soustavu s tlumičem.

Na následujícím obrázku je porovnání torzní výchylky volného konce hřídele pro soustavu s tlumičem a bez tlumiče na základě simulace z dynamického modelu se zahrnutím torzních kmitů.



Obr. 26 Srovnání torzních výchylek s tlumičem a bez tlumiče

Na obrázku je průběh pouze pro jednozlové kmitání, protože pro dvojuzlové kmitání jsou hodnoty řádově nižší a tedy zanedbatelné. Maximální hodnota torzní výchylky pro soustavu s tlumičem je  $0,85^\circ$  v kladné oblasti a  $0,64^\circ$  v záporné oblasti. Maximální hodnoty torzních výchylek pro jednotlivé řády  $\kappa$  získané analytickým výpočtem jsou uvedeny ve výpočtové zprávě.



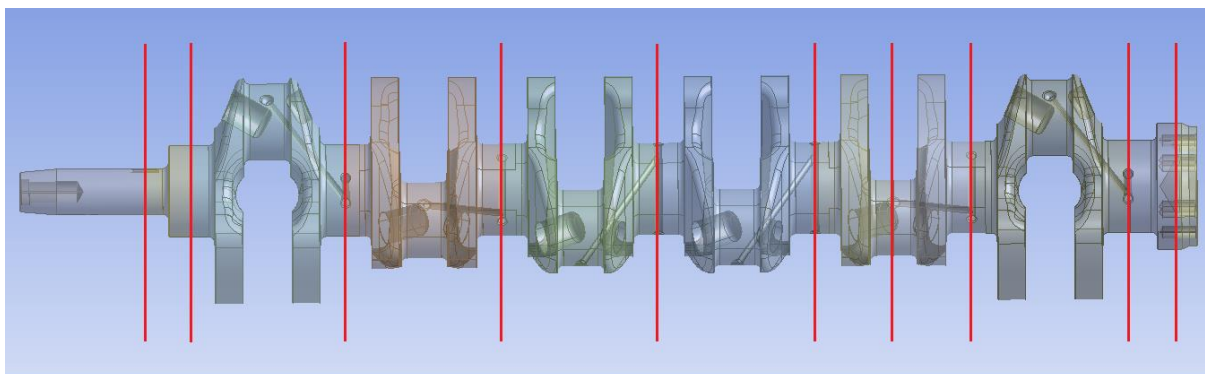
## 10 PEVNOSTNÍ ANALÝZA KLIKOVÉ HŘÍDELE

Posledním krokem bylo provedení pevnostní analýzy klikové hřídele pomocí metody konečných prvků (MKP) s ohledem na torzní kmity při použití navrženého tlumiče torzních kmitů.

### 10.1 PŘÍPRAVA MODELU A SÍŤOVÁNÍ

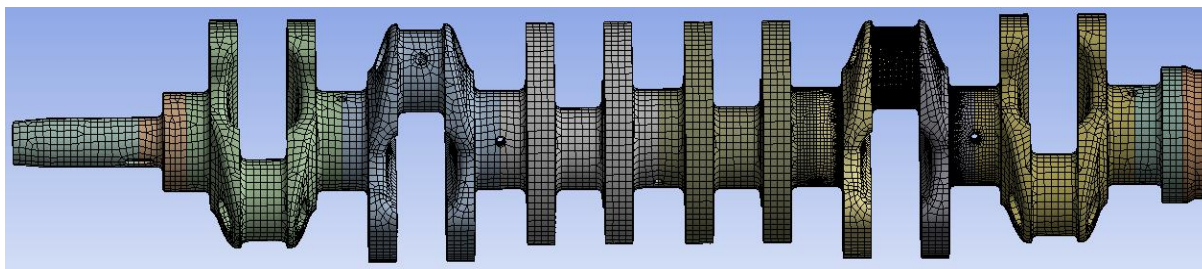
Nejprve byl z programu PTC Creo exportován soubor obsahující 3D geometrii navržené hřídele ve formátu (.igs). Model není nijak zjednodušen a obsahuje veškeré konstrukční prvky, které se reálně na součásti nachází tj. mazací kanály včetně detailů jejich vyústění, rádiusy přechodů ojnicích a hlavních čepů do ramen klikové hřídele atd. Následná další příprava 3D modelu a síťování bylo provedeno v programu ANSYS Workbench.

Zde bylo nejprve v modulu *Design Modeler* vytvořeno několik pomocných rovin (funkce *Create/New Plane*) a to ve středech všech hlavních čepů, ve středu drážky pro pero, příruby setrvačníku a 5. ojnicního čepu, který bude zatěžován (Obr. 27). Následně byl model rozdělen těmito rovinami na několik samostatných objemů (funkce *slice*). Tato úprava umožní při následném vytváření výpočtové sítě uzlů, aby tyto uzly ležely přesně ve vybraných místech (průsečíky pomocných rovin s tělesem klikové hřídele). Toto umístění uzlů na požadovaných místech (středů hlavních čepů atd.) je nutné pro následné vytváření prutových náhrad v těchto místech.

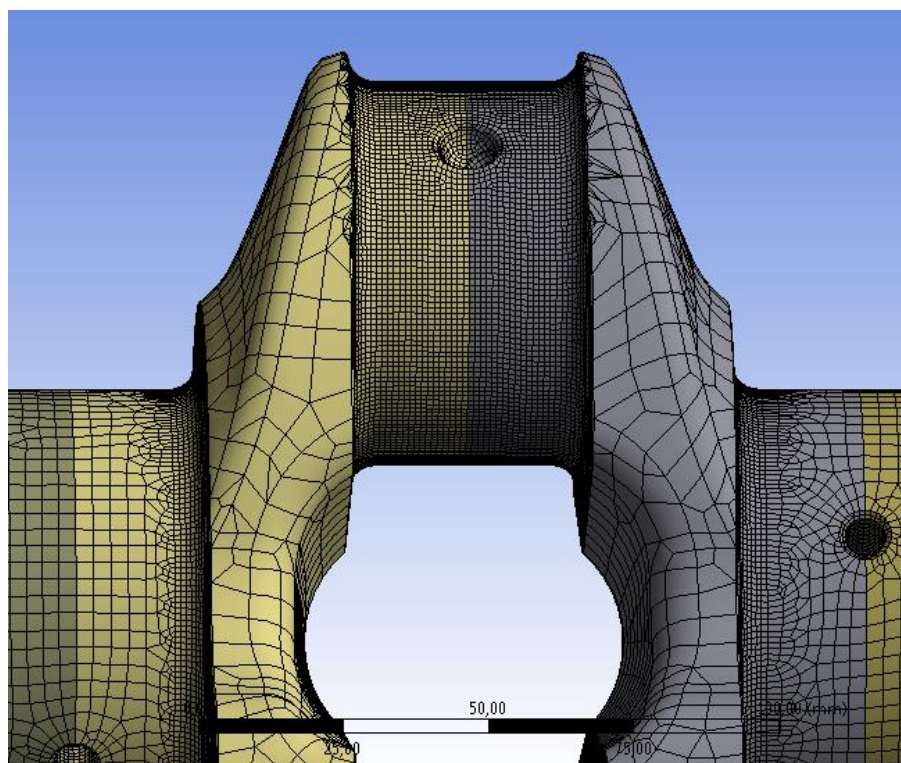


Obr. 27 Pomocné roviny

Síťování bylo provedeno metodou *Hex Dominant*, vznikly tak kvadratické elementy výpočetní sítě. Základní velikost prvků je 6,1 mm. Na povrchu hlavních čepů je síť zjemněna na 3 mm. Ojnicní čep na 5. Zalomení a rádiusy přechodů ojnicích a hlavních čepů, kde očekáváme největší napětí, mají síť zjemněnou na 1mm. Stejně tak vyústění mazacího kanálu na ojnicním čepu a rádiusy ukončující odlehčovací otvory ojnicního čepu.



Obr. 28 Výpočetní síť



Obr. 29 Detail výpočetní sítě na zatěženém pátém zalomení

## 10.2 TVORBA PRUTOVÝCH NÁHRAD A SIMULACE OLEJOVÉ VRSTVY

Pro následné určení okrajových podmínek v místě hlavních čepů, kde je kliková hřídel uložena v bloku motoru, byly použity pro účely simulace tzv. prutové náhrady. Jedná se o pruty z prvků MPC184 směřující z pomocného bodu uvnitř čepu. Pomocný bod přitom leží vždy ve středu čepu na jeho ose a uzly do nichž pruty směřují, leží v polovině čepu ale na jeho povrchu nebo těsně pod povrchem. Praktické provedení je pak následující. Prvek MPC184 je nutné definovat v seznamu prvků a nastavit jeho vlastnosti (*Element Behavior K1*) na *Rigid Beam*. Dále byly vytvořeny pomocné středové body uvnitř čepu, poté byly vyselektovány uzly daného čepu, do kterých mají pruty směřovat a nakonec byl použit speciální podprogram (makro) na tvorbu prutových náhrad. Toto makro je naprogramované tak, aby vytvořilo pruty z daných prvků, které směřují ze zadaného bodu do bodů, které jsou aktuálně vyselektovány. Stejným způsobem byly vytvořeny pomocné body a prutové náhrady i ve středu příruby pro setrvačnick, kde byl aplikován moment.

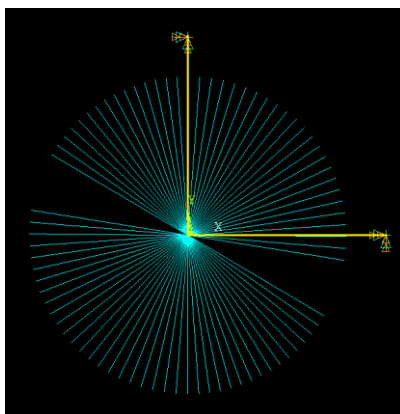
Pro simulaci olejové mazací vrstvy kluzných ložisek na hlavních čepch byly použity prvky COMBIN14. Tyto prvky mohou simulovat jak tlumič, tak pružinu. Pro naše účely byl prvek

použit pouze jako pružina s nastavením parametru tuhosti pružiny. Tuhost pružiny, která nahrazuje pružnost olejové vrstvy je určena dle vztahu [10]

$$k_p = \frac{0,5 \cdot F_{max}}{0,8 \cdot c} \quad (51)$$

kde  $F_{max}$  je maximální síla od tlaku plynů a  $c$  je ložisková vůle.

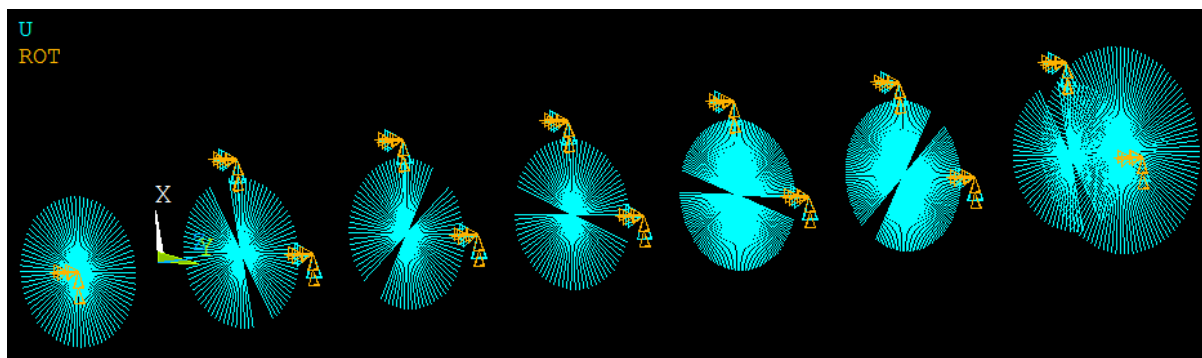
Vypočítaná tuhost byla do programu zadána pomocí konstanty (Preprocessor – Real Constants – Add/Edit/Delete). Pro aplikaci prvků COMBIN14 bylo nutné vytvořit pomocné body pro jejich uchycení, umístěné vně hlavního čepu, jeden ve směru osy  $x$  a druhý ve směru osy  $y$  (osa  $z$  je osou rotace hřídele). Prvky byly umístěny vždy dva na každý hlavní čep, jeden ze středu čepu k pomocnému bodu ve směru osy  $x$ , druhý ze středu čepu do pomocného bodu v ose  $y$ . Na následujícím obrázku jsou pro jeden hlavní čep zobrazeny prutové náhrady z prvků MPC184 (modrá barva) a pruty z prvků COMBIN14 (žlutá barva).



Obr. 30 Prutové náhrady

### 10.3 OKRAJOVÉ PODMÍNKY

Pro pomocné body vně hřídele, ke kterým jsou přichyceny pruty z elementu COMBIN14 byly nastaveny tyto okrajové podmínky, zamezení všech posuvů a rotací ve všech směrech. Byla zkoušena i varianta se zamezením pouze všech posuvů a výsledky byly téměř naprosto stejné. Rozdíl redukovaného napětí na kritických místech pro obě varianty byl zhruba 0,1 MPa. Kvůli zamezení rotace celé hřídele bylo ve středu prutové náhrady prvního hlavního čepu (u volného konce) zamezeno všem posuvům a rotacím.



Obr. 31 Okrajové podmínky

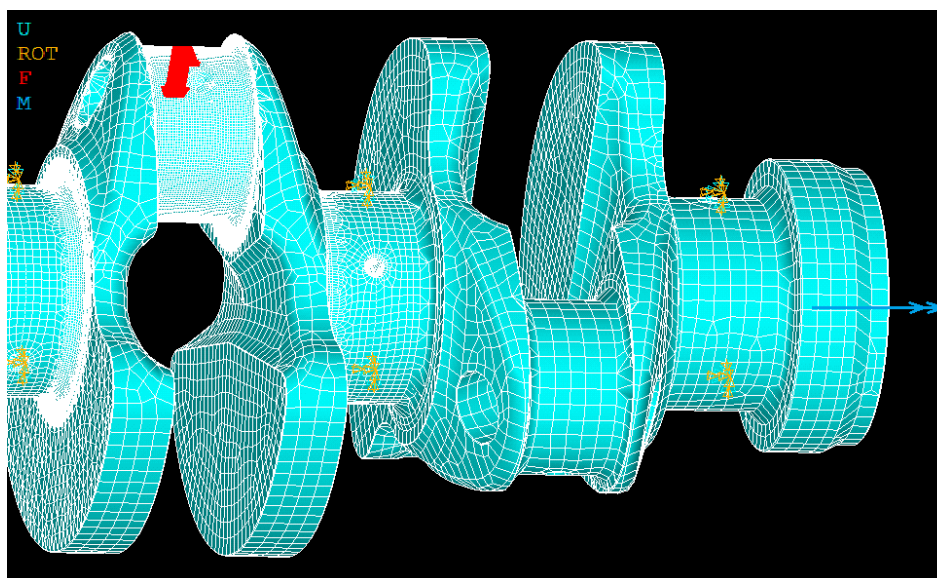
## 10.4 ZATÍŽENÍ HŘÍDELE A VÝSLEDNÁ NAPĚTÍ

Pro určení napětí na kritických místech byly použity dva zátěžné stavy. Označené jako stav A (zatížení maximální silou od tlaku plynů + maximální torzní moment  $M_{tmax}$ ) a stav B (zatížení pouze minimálním torzním momentem  $-M_{tmin}$ ).

Tab. 8 Zátěžné síly a momenty pro soustavu s tlumičem a bez tlumiče

zátěžný stav	bez tlumiče		s tlumičem	
	síla	moment	síla	moment
A	85 742 N	10 496 Nm	85 742 N	3 495 Nm
B	---	- 8 213 Nm	---	- 1 256 Nm

Zátěžný stav A tj. síla od tlaku plynů (rozložená do několika uzlů) + maximální torzní moment je zobrazen na následujícím obrázku. U zátěžného stavu B chybí síla od tlaku plynů a je aplikován pouze minimální torzní moment.

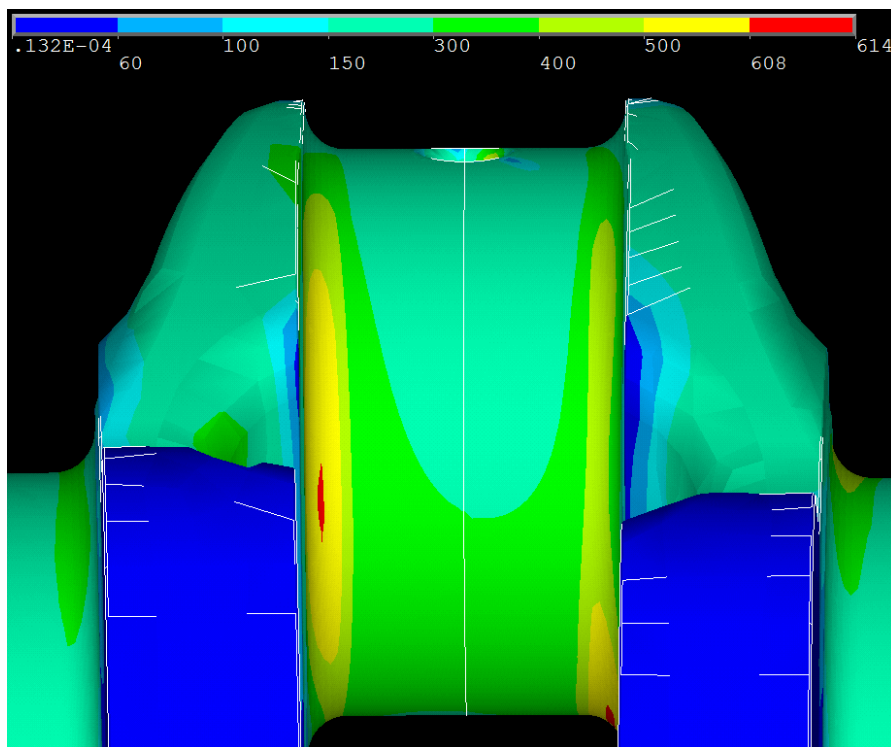


Obr. 32 Zátěžný stav A

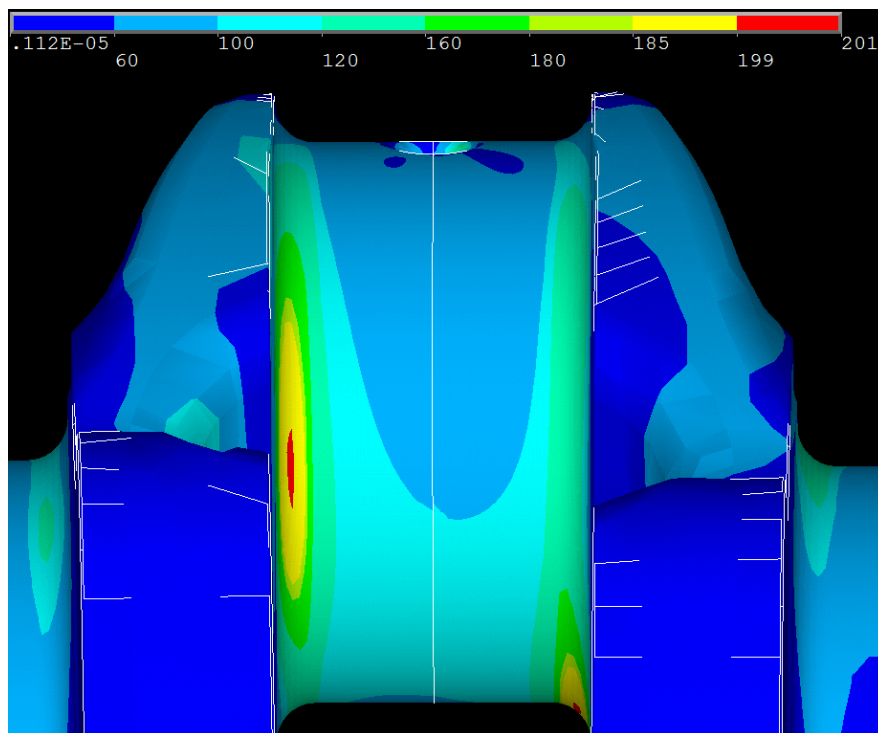
Pro zjednodušení byla použita síla od tlaku plynů se zanedbáním odstředivých sil. Síla byla aplikována na ojnicí čep na pátém zalomení klikové hřídele, kde bude podle torzního modelu hřídel nejvíce namáhána od torzních kmitů. Torzní moment byl aplikován na přírubu setrvačníku (střed prutové náhrady z prvků MPC184). Při aplikaci síly od tlaku plynů, byla nejdříve použita varianta aplikace síly v jediném bodě (uzlu) v polovině ojnicího čepu, výsledkem pak bylo enormní napětí v okolí působící síly a ve vyústění mazacího kanálu, který se nacházel poblíž. Další snahou proto bylo neovlivnit příliš výsledky v okolí působení síly od tlaku plynů a ujistit se jestli v místech vyústění mazacího kanálu nebudou vznikat nebezpečná napětí. Síla byla proto rozložena do několika uzlů (100) na povrchu ojnicího čepu. Tento zátěžný stav také lépe odpovídá skutečnosti, kdy síla od tlaku plynů působí na ojnicí čep pomocí ojnice nikoli bodově ale je rovnoměrně rozložena v kontaktu čep – ojnice. Uzly, do kterých byla síla rozložena, byly vybrány poblíž střední části ojnicího čepu, i když ve skutečnosti ojnice na čep nepůsobí jen ve střední části čepu, ale kontakt je rozložen po celé délce čepu. Při vyzkoušení varianty rozložení síly po celé délce čepu vycházela redukováná



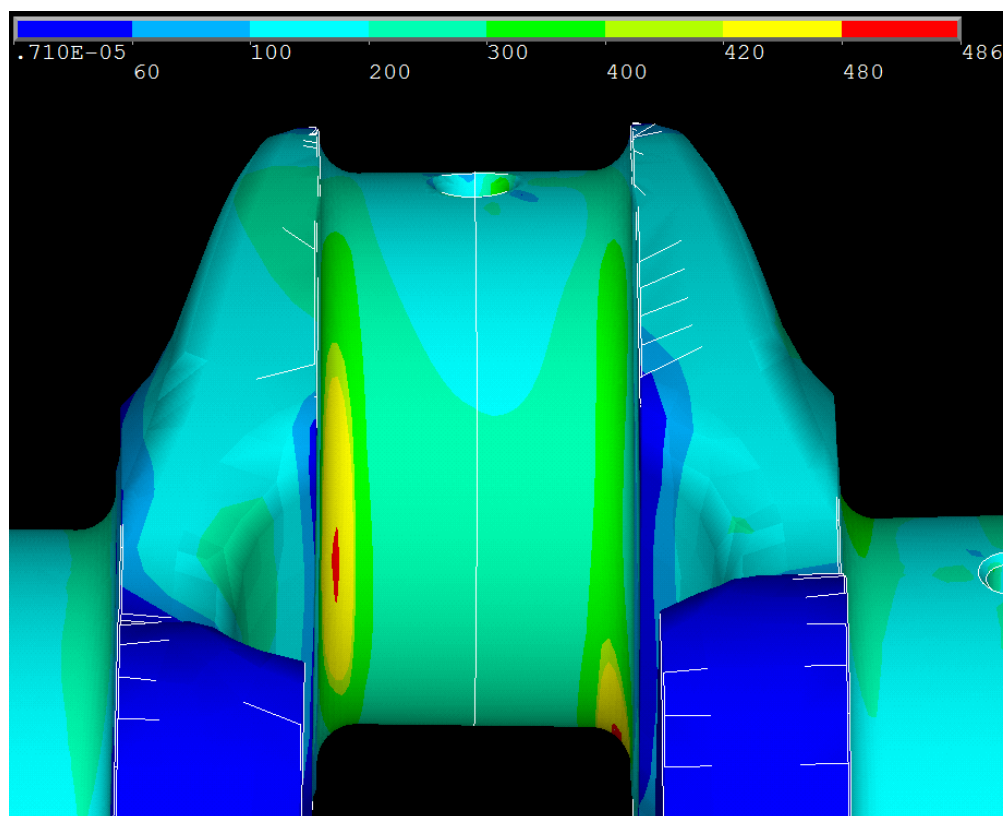
napětí na kritických místech nižší proto pro získání co nejkonzervativnějších výsledků bylo od této varianty upuštěno a uzly byly vybrány ve střední části (viz. Obr. 32). Kvůli nemožnosti aplikace sil pod určitým úhlem k souřadné soustavě byla každá síla rozložena do směrů os  $x$  a  $y$ .



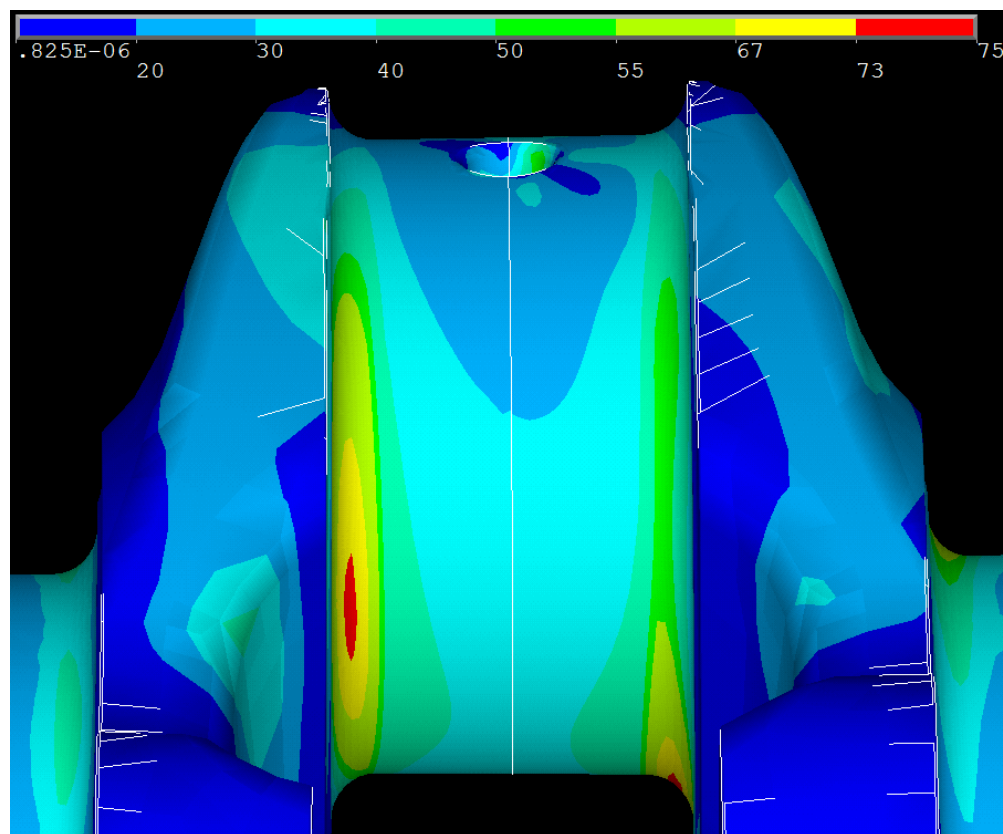
*Obr. 33 Bez tlumice - zátěžný stav A*



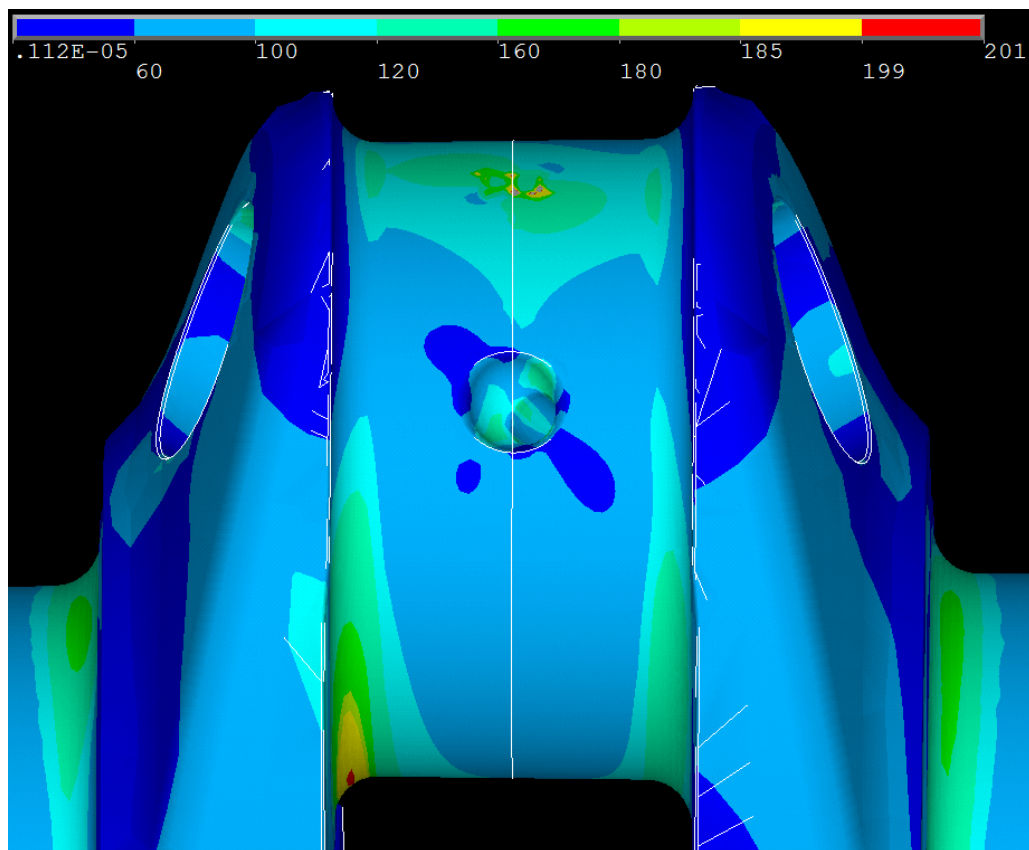
*Obr. 34 S tlumičem - zátěžný stav A*



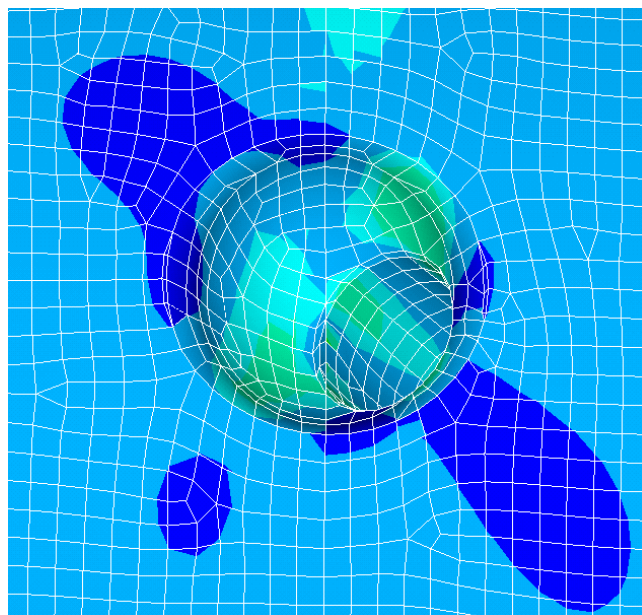
Obr. 35 Bez tlumice - zátěžný stav B



Obr. 36 S tlumičem - zátěžný stav B



Obr. 37 Oblast ovlivněná zátěžnou silou a vyústění mazacího kanálu (s tlumičem, zátěžný stav A)



Obr. 38 Detail vyústění mazacího kanálu (s tlumičem, zátěžný stav A, barevná škála stejná s předchozím obrázkem)

Na obrázku Obr. 37 je vidět vyústění mazacího otvoru a ve vrchní části ojničního čepu oblast ovlivněná zatěžovací silou. Na obrázku Obr. 38 je zobrazen detail vyústění mazacího kanálu, ze kterého je zřejmé, že zde není kritické místo a žádná větší napětí zde nevznikají. Kritická

místa jsou vždy 2 na přechodech ojnicního čepu do ramene klikové hřídele (rádiusy). S tím že maximální hodnoty redukovaného napětí von Mises vychází na obou kritických místech téměř stejné (rozdíl 0,1 MPa, uzly s absolutně největším napětím leží vždy v kritickém místě na obrázcích vlevo). Maximální redukovaná napětí vyšla pro zátěžný stav A. Maximální hodnoty jsou pro soustavu bez tlumiče 614,3 MPa a pro soustavu s tlumičem 200,6 MPa.

## 10.5 BEZPEČNOST VŮČI ÚNAVOVÉMU POŠKOZENÍ

Pro stanovení koeficientu bezpečnosti vůči únavovému porušení je třeba znát vlastnosti materiálu klikové hřídele a příslušné hodnoty redukovaných napětí von Mises na kritických místech. Jako materiál klikové hřídele jsem zvolil chrom-molybdenovou ocel vhodnou pro zušlechťování a povrchové kalení 42CrMo4 (1.7225, ČSN 15 142) jejíž vlastnosti shrnuje Tab. 9. Redukovaná napětí a další potřebné hodnoty pro výpočet odečtené z MKP modelu shrnuje tabulka Tab. 10.

Tab. 9 Vlastnosti materiálu hřídele [10],[11]

ocel 42CrMo4 (ČSN 15 142)		
mez pevnosti pro	$R_m$ [MPa]	1100
mez kluzu pro	$R_e$ [MPa]	650
mez únavy v ohybu *	$\sigma_{cOHYB}$ [MPa]	525
mez únavy v tahu/tlaku *	$\sigma_{CTAH/TLAK}$ [MPa]	495
*pro průměr vzorku	$d_{vzorek}$ [mm]	7,5

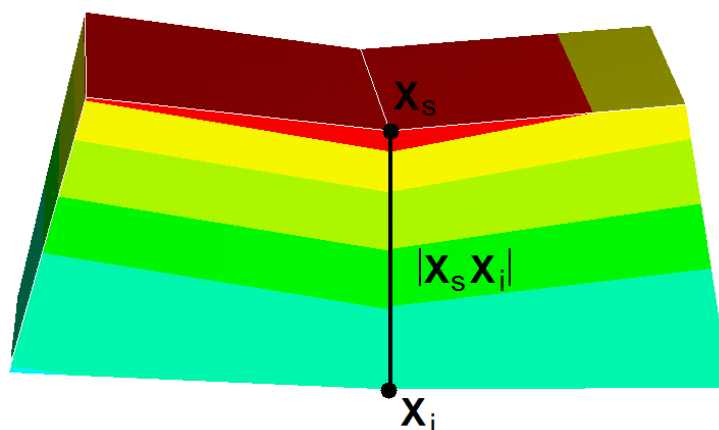
Tab. 10 Výsledky z MKP

hřídel	parametr	značka [jednotka]	hodnota
bez tlumiče	max. napětí na povrchu zátěžný stav A	$\sigma_{sA}$ [MPa]	614,3
	napětí pod povrchem pro zátěžný stav A	$\sigma_{iA}$ [MPa]	471,2
	vzdálenost uzlů na povrchu a pod povrchem	$ X_s X_i $ [mm]	0,905
	max. napětí na povrchu zátěžný stav B *	$\sigma_{sB}$ [MPa]	485,4
s tlumičem	max. napětí na povrchu zátěžný stav A	$\sigma_{sAt}$ [MPa]	200,6
	napětí pod povrchem pro zátěžný stav A	$\sigma_{iAt}$ [MPa]	156,2
	vzdálenost uzlů na povrchu a pod povrchem	$ X_s X_i _t$ [mm]	0,905
	max. napětí na povrchu zátěžný stav B *	$\sigma_{sBt}$ [MPa]	74,2

\* určeno na stejném povrchovém uzlu (nodu) jako pro zátěžný stav A



Všechna napětí uvedená v tabulce Tab. 10 jsou redukovaná napětí dle kritéria von Mises. Maximální napětí na povrchu součásti  $\sigma_{sA}$  je určeno v kritickém místě (uzel  $X_s$ ) a napětí pod povrchem součásti  $\sigma_{iA}$  je určeno v nejbližším uzlu od kritického místa, který leží kolmo pod povrchem (uzel  $X_i$ ). Vzdálenost těchto uzlů je pak označena jako  $|X_s X_i|$  (viz Obr. 39). Redukované napětí  $\sigma_{sB}$  je napětí na povrchu součásti pro zátěžný stav B, které je určeno ve stejném povrchovém uzlu  $X_s$  jako pro zátěžný stav A.



Obr. 39 Vzdálenost uzlů

Ze zjištěných napětí na povrchu a pod povrchem součásti se stanoví tzv. poměrný gradient [10]

$$\chi_R = \frac{1}{\sigma_{sA}} \cdot \left( \frac{\sigma_{sA} - \sigma_{iA}}{|X_s X_i|} \right) \quad (52)$$

Zahrnutím mezi únavy se vypočte tzv. korekční součinitel [10]

$$f_G = 1 + \frac{\frac{\sigma_{COHYB}}{\sigma_{cTAH/TLAK}} - 1}{\frac{2}{d_{vzorek}}} \cdot \chi_R \quad (53)$$

Dále je třeba určit poměr  $\frac{\beta}{\alpha}$  [9]

$$\frac{\beta}{\alpha} = 1 + \sqrt{\chi_R} \cdot 10^{-\left(0,35 + \frac{Re}{810}\right)} \quad (54)$$

stanovit amplitudu napětí [9]

$$\sigma_{ea} = \frac{\sigma_{sA} - \sigma_{sB}}{2} \quad (55)$$

a střední hodnotu ekvivalentního napětí [10]

$$\sigma_{em} = \frac{\sigma_{sA} + \sigma_{sB}}{2} \quad (56)$$

Vliv velikosti součásti je vyjádřen následujícím vztahem [10]

$$\eta_{\sigma} = 1,189 \cdot D^{-0,097} \quad (57)$$

kde D je průměr součásti v našem případě průměr ojnicního čepu. Dále je třeba stanovit vliv pravděpodobnosti přežití součásti, který byl stanoven z následující tabulky. Byla zvolena nejkonzervativnější hodnota tj.  $\nu_{\sigma} = 0,620$  odpovídající pravděpodobnosti přežití 99,9999%.

Tab. 11 Vliv pravděpodobnosti přežití součásti [10]

pravděpodobnost přežití součásti	$\nu_{\sigma}$
0,5	1
0,9	0,897
0,95	0,868
0,99	0,814
0,999	0,753
0,9999	0,702
0,99999	0,659
0,999999	0,620

Po stanovení všech výše uvedených koeficientů je možné vypočítat koeficient bezpečnosti, který je dán následujícím vztahem [10]

$$k = \frac{1}{\frac{\beta}{\alpha} \cdot \frac{\sigma_{ea}}{\sigma_{COHYB} \cdot \eta_{\sigma} \cdot \nu_{\sigma} \cdot f_G} + \frac{\sigma_{em}}{Rm}} \quad (58)$$

Pro bezpečnost s povrchově kalenými rádiusy pak platí vztah [10]

$$k_{kaleno} \cong 1,3 \cdot k \quad (59)$$

Výsledné koeficienty bezpečnosti shrnuje následující tabulka

Tab. 12 Koeficienty bezpečnosti

	bezpečnost vůči únavovému porušení	bezpečnost vůči únavovému porušení s kalenými rádiusy
	$k$ [–]	$k_{kaleno}$ [–]
bez tlumiče	1,34	1,75
s tlumičem	2,74	3,56

## ZÁVĚR

V této práci byla navržena konfigurace klikové hřídele pro řadový šestiválcový vznětový motor. Bylo použito silové vyvážení klikové hřídele s tím, že se podařilo vyvážit každé zalomení s 80% rotačního podílu ojnice. To vedlo přirozeně k nárůstu celkové hmotnosti hřídele. Přínosem ovšem je menší namáhání hlavních ložisek a tím zvýšení jejich životnosti. Aby bylo vůbec možné dosáhnout požadovaného vyvážení, byly ojnicní čepy odlehčeny dvojicí šikmých vývrtů.

Dále byl na základě navržených rozměrů hřídele a parametrů ostatních částí mechanismu vytvořen torzní model klikového mechanismu. Z 3D modelu byly zjištěny momenty setrvačnosti jednotlivých částí a na jejich základě byly stanoveny redukované momenty setrvačnosti torzního modelu. Pro zjištění torzních tuhostí modelu byly podle analytických vztahů stanoveny redukované délky jednotlivých částí hřídele. Pro sestavený torzní model byl proveden výpočet vlastních frekvencí a vlastních tvarů kmitání. Byla provedena harmonická analýza krouticího momentu a dále výpočet vynuceného kmitání. Bylo potvrzeno, že dvojuzlové kmitání má pro tuto soustavu zanedbatelný význam a pro další výpočty se stačí zabývat pouze jednouzlovým kmitáním. Pro účely pevnostních výpočtů byla provedena simulace na základě dynamického modelu se zahrnutím torzních kmitů. Výstupem pak byl průběh torzní výchylky volného konce hřídele a průběhy torzních momentů na jednotlivých úsecích hřídele v závislosti na otáčkách motoru. Z výsledků vyplynulo, že zde vznikají velmi vysoké torzní momenty, které povedou ke značnému namáhání klikové hřídele. Dalším krokem ke zpřesnění výpočtů by mohlo být stanovení torzních tuhostí jednotlivých částí torzního modelu (zejména zalomení hřídele) na základě MKP simulace.

Poté byl proveden samotný návrh silikonového tlumiče torzních kmitů. Návrh parametrů tlumiče a jeho konstrukčního provedení probíhal souběžně a pro výpočet parametrů byly použity momenty setrvačnosti z 3D modelu tlumiče. Při návrhu konstrukčního uspořádání byl kladen důraz na možnost dodatečné montáže tlumiče na původní řemenici a tlumič je tak možné uchytit bez jakýchkoliv úprav řemenice do již existujících děr pro šrouby.

Následně byl proveden výpočet torzních kmitů pro soustavu s navrženým tlumičem. Navrženým torzním tlumičem se podařilo snížit maximální torzní výchylku a maximální torzní moment o cca 66%. Výsledné torzní momenty pro soustavu s tlumičem a dříve získané torzní momenty pro soustavu bez tlumiče byly spolu s maximální silou od tlaku plynů použity pro zatěžování součásti v MKP simulaci.

Z výsledných redukovaných napětí (von Mises) z MKP simulace byly pro soustavu s tlumičem i bez tlumiče stanoveny koeficienty bezpečnosti vůči únavovému porušení. Při výpočtu byly použity nejpřísnější možná kritéria, kdy pravděpodobnost přežití součásti byla zvolena na 99,9999%. Také u maximální síly od tlaku plynů byly zanedbány setrvačné síly, které by vedly ke snížení této síly. Z výsledků vyplývá, že z hlediska bezpečnosti vůči únavovému porušení vyhovuje i hřídel bez tlumiče. S tlumičem však došlo k podstatnému zvýšení této bezpečnosti. Podstatné snížení torzní výchylky volného konce hřídele odkud je přes ozubená kola poháněn ventilový rozvod bude mít také pozitivní vliv na rozvodový mechanismus. Celkově lze proto hodnotit použití torzního tlumiče u tohoto motoru jako opodstatněné a velmi vhodné a provedenými simulacemi byl prokázán výrazný pozitivní vliv tlumiče.

## POUŽITÉ INFORMAČNÍ ZDROJE

- [1] KOLEKTIV VÚNM a ČKD Praha. *Naftové motory čtyřdobé*. 1. Díl, 2. vyd., 1962, 541 s.
- [2] HEISLER, Heinz. *Advanced engine technology*. Warrendale, PA: SAE International, c1995. ISBN 1-56091-734-2
- [3] Vulcanized Torsional Vibration Damper, *Vibracoustic.com* [online]. [cit. 2017-02-06]. Dostupné z: <https://www.vibracoustic.com/products/passenger-car/powertrain/torsional-vibration-dampers/tvd>
- [4] PÍŠTĚK, Václav; DRÁPAL, Lubomír. FSI VUT, ÚADI. *Hnací ústrojí: Vyvažování řadových motorů – dvouválec* (Výuková prezentace). Brno 2012, 34 s.
- [5] PÍŠTĚK, Václav; DRÁPAL, Lubomír. FSI VUT, ÚADI. *Hnací ústrojí: Vyvažování řadových motorů – šestiválec* (Výuková prezentace). Brno 2012, 22 s.
- [6] PÍŠTĚK, Václav; DRÁPAL, Lubomír. FSI VUT, ÚADI. *Hnací ústrojí: Kinematika centrického klikového mechanismu* (Výuková prezentace). Brno 2012, 19 s.
- [7] NOVOTNÝ, Pavel. FSI VUT, ÚADI. *Počítačové simulace v automobilovém průmyslu II - Klikový mechanismus* (Výuková prezentace). 58 s.
- [8] COMP. BY E.J. NESTORIDES. *A Handbook on Torsional Vibration*. Paperback ed. Cambridge: Cambridge Univ Pr, 1958. ISBN 978-0-521-04326-7.
- [9] NOVOTNÝ, Pavel. FSI VUT, ÚADI. *Základy problematiky vibrací* (Výuková prezentace). Brno, 62 s.
- [10] NOVOTNÝ, Pavel. FSI VUT, ÚADI. *Aplikované metody řešení únavového poškození – část 1*. (Výuková prezentace). Brno, 57 s.
- [11] ČSN EN 10083-3: *Oceli k zušlechťování - Technické dodací podmínky*. Český normalizační institut, 2007.

## SEZNAM POUŽITÝCH ZKRATEK A SYMBOLŮ

$ X_s X_i $	[mm]	vzdálenost uzlu na povrchu a pod povrchem
$ X_s X_i _t$	[mm]	vzdálenost uzlu na povrchu a pod povrchem (s tlumičem)
$a$	$[m \cdot s^{-2}]$	zrychlení pístu
$a_1$	$[m \cdot s^{-2}]$	první harmonická složka zrychlení pístu
$a_2$	$[m \cdot s^{-2}]$	druhá harmonická složka zrychlení pístu
$B$	[mm]	průměrná šířka ramene v bokorysu
$c_{1-7}$	$[Nm \cdot rad^{-1}]$	torzní tuhosti příslušných částí torzního modelu
$D$	[mm]	vrtání válce
$D_c$	[mm]	průměr ojnicního čepu
$d_c$	[mm]	průměr odlehčovacího vývrtu ojnicního čepu
$D_j$	[mm]	průměr hlavního čepu
$d_j$	[mm]	průměr odlehčovacího vývrtu hlavního čepu
$D_{roz}$	[mm]	roztečný průměr děr pro šrouby na přírubě
$D_{vk}$	[mm]	průměr volného konce hřídele
$d_{vzorek}$	[mm]	průměr zkušební vzorku
$F_c$	[N]	celková síla působící na pístní čep
$f_G$	[-]	korekční součinitel
$F_o$	[N]	celková síla působící v ose ojnice
$F_p$	[N]	síla od tlaku plynů
$F_r$	[N]	radiální složka síly působící na ojnicní čep prostřednictvím ojnice
$F_{rc}$	[N]	celková radiální síla zatěžující ojnicní čep
$F_{rod}$	[N]	odstředivá síla rotačních částí
$F_s$	[N]	setrvačná síla posuvných částí
$F_t$	[N]	tečná složka síly působící na ojnicní čep prostřednictvím ojnice
$G$	[MPa]	modul pružnosti ve smyku
$I_p$	$[m^4]$	polární moment setrvačnosti
$J_{1-8}$	$[kg \cdot m^2]$	redukované momenty setrvačnosti příslušné části torzního modelu
$J_{1t}$	$[kg \cdot m^2]$	moment setrvačnosti řemenice s tlumičem
$J_{ef}$	$[kg \cdot m^2]$	efektivní moment setrvačnosti
$J_{pr}$	$[kg \cdot m^2]$	moment setrvačnosti řemenice konce hřídele s přírubou
$J_r$	$[kg \cdot m^2]$	moment setrvačnosti řemenice
$J_s$	$[kg \cdot m^2]$	moment setrvačnosti skříně (obalu) tlumiče

$J_{st}$	[kg·m <sup>2</sup> ]	moment setrvačnosti řemenice setrvačnicku
$J_t$	[kg·m <sup>2</sup> ]	moment setrvačnosti činné hmoty (prstence) tlumiče
$J_{vk}$	[kg·m <sup>2</sup> ]	moment setrvačnosti řemenice volného konce hřídele
$J_{zal}$	[kg·m <sup>2</sup> ]	moment setrvačnosti řemenice jednoho zalomení
$k$	[-]	koeficient bezpečnosti vůči únavovému poškození
$k_{kaleno}$	[-]	koeficient bezpečnosti vůči únavovému poškození (kalené rádiusy)
$k_{opt}$	[Nm·s·rad <sup>-1</sup> ]	optimální součinitel tlumení
$k_p$	[N·mm <sup>-1</sup> ]	tuhost pružiny nahrazující olejovou vrstvu
$k_t$	[Nm·s·rad <sup>-1</sup> ]	součinitel tlumení tlumiče
$L_c$	[mm]	délka ojnicního čepu
$L_j$	[mm]	délka hlavního čepu
$l_o$	[mm]	délka ojnice
$l_p$	[mm]	délka příruby
$l_{redp}$	[mm]	redukováná délka příruby
$l_{redvk}$	[mm]	redukováná délka volného konce hřídele
$l_{vk}$	[mm]	délka volného konce hřídele
$L_w$	[mm]	šířka ramene v nárýsu
$l_{zred}$	[mm]	redukováná délka jednoho zalomení
$m_1$	[kg]	hmotnost posuvného podílu ojnice
$m_{1k}$	[kg]	hmotnost 1. pístního kroužku
$m_2$	[kg]	hmotnost rotačního podílu ojnice
$m_{2k}$	[kg]	hmotnost 2. pístního kroužku
$m_{cep}$	[kg]	hmotnost pístního čepu
$M_{hs}$	[Nm]	harmonické složky krouticího momentu
$M_k$	[Nm]	krouticí moment
$m_p$	[kg]	hmotnost pístu
$m_{ph}$	[kg]	hmotnost všech posuvných hmot
$m_{pk}$	[kg]	hmotnost pojistného kroužku
$m_{ps}$	[kg]	hmotnost pístní skupiny
$m_{sk}$	[kg]	hmotnost stíracího kroužku
$n$	[min <sup>-1</sup> ]	otáčky klikové hřídele
$N_1$	[Hz]	1. vlastní frekvence
$N_{1kr}$	[min <sup>-1</sup> ]	kritické otáčky jednouzlového kmitání

$N_2$	[Hz]	2. vlastní frekvence
$N_{2kr}$	[min <sup>-1</sup> ]	kritické otáčky dvojuzlového kmitání
$p$	[MPa]	spalovací tlak ve válci
$p_a$	[MPa]	atmosférický tlak
$r$	[mm]	rameno klikové hřídele
$Re$	[MPa]	mez kluzu
$Rm$	[MPa]	mez pevnosti
$s$	[m]	dráha pístu
$s_1$	[m]	první harmonická složka dráhy pístu
$s_2$	[m]	druhá harmonická složka dráhy pístu
$s_o$	[Nm·s·rad <sup>-1</sup> ]	součinitel tlumících odporů motoru
$v$	[m·s <sup>-1</sup> ]	rychlost pístu
$v_1$	[m·s <sup>-1</sup> ]	první harmonická složka rychlosti pístu
$v_2$	[m·s <sup>-1</sup> ]	druhá harmonická složka rychlosti pístu
$Z$	[mm]	zdvih válce
$\alpha$	[°]	úhel natočení klikové hřídele
$\beta$	[°]	úhel odklonu ojnice
$\beta/\alpha$	[-]	poměr $\beta$ ku $\alpha$
$\gamma_{opt}$	[-]	optimální poměrný útlum
$\varepsilon$	[-]	kompresní poměr
$\varepsilon_\kappa$	[-]	vydatnost rezonancí
$\varepsilon_{\kappa t}$	[-]	vydatnost rezonancí pro soustavu s tlumičem
$\eta_\sigma$	[-]	vliv velikosti součásti
$\kappa$	[-]	řád harmonické složky
$\lambda$	[m]	klikový poměr
$\mu_t$	[-]	poměrná velikost tlumiče
$\nu_\sigma$	[-]	vliv pravděpodobnosti přežití součásti
$\sigma_{cOHYB}$	[MPa]	mez únavy v ohybu
$\sigma_{cTAH/TLAK}$	[MPa]	mez únavy v tahu/tlaku
$\sigma_{ea}$	[MPa]	amplituda napětí
$\sigma_{em}$	[MPa]	střední hodnota ekvivalentního napětí
$\sigma_{iA}$	[MPa]	napětí pod povrchem součásti zátěžný stav A
$\sigma_{iAt}$	[MPa]	napětí pod povrchem součásti zátěžný stav A s tlumičem

$\sigma_{sA}$	[MPa]	napětí na povrchu součásti zátěžný stav A
$\sigma_{sAt}$	[MPa]	napětí na povrchu součásti zátěžný stav A s tlumičem
$\sigma_{sB}$	[MPa]	napětí na povrchu součásti zátěžný stav B
$\sigma_{sBt}$	[MPa]	napětí na povrchu součásti zátěžný stav B s tlumičem
$\Phi_{1-2}$	[rad]	torzní výchylka volného konce v rezonanci pro příslušné kmitání
$\varphi_{4D}$	[°]	úhel pravidelného rozestupu zážehů pro čtyřdobý motor
$\Phi_t$	[rad]	torzní výchylka volného konce v rezonanci s tlumičem
$\chi_R$	[mm <sup>-1</sup> ]	poměrný gradient
$\omega$	[rad·s <sup>-1</sup> ]	úhlová rychlost klikové hřídele
$\Omega_1$	[rad·s <sup>-1</sup> ]	první vlastní úhlová rychlost
$\Omega_2$	[rad·s <sup>-1</sup> ]	druhá vlastní úhlová rychlost
$\Omega_t$	[rad·s <sup>-1</sup> ]	úhlová rychlost vlastních torzních kmitů tlumiče



## **SEZNAM PŘÍLOH**

Příloha 1 – Výpočtová zpráva

Příloha 2 – Výkres součásti – Kliková hřídel